



<https://jssr.ui.ac.ir/?lang=en>

Journal of Stratigraphy and Sedimentology Researches
E-ISSN: 2423-8007
Vol. 39, Issue 2, No. 91, Summer 2023, pp 23-44
Received: 29.08.2023 Accepted: 11.11.2023

Research Paper

Sequence stratigraphy and microfacies of the Sarvak Formation, west of the Hendijan–Bahregansar–Nowrooz Palaeohigh

Solmaz Sadeghi

PhD student of Stratigraphy and Palaeontology, Department of Geology, Faculty of Earth Sciences, Kharazmi University, Tehran, Iran
sadeghisolmaz6890@gmail.com

Hossein Hashemi

Associate Professor, Department of Geology, Faculty of Earth Sciences, Kharazmi University, Tehran, Iran
h.hashemi@khu.ac.ir

Bijan Beiranvand 

Senior Researcher, Research Institute of Petroleum Industry (RIPI), Tehran, Iran
biranvandb@ripi.ir

Abstract

The Sarvak Formation is one of the most important oil reservoirs in southwestern Iran. The Hendijan–Bahregansar–Nowrooz strike-slip Fault (HBNF) is known as a major fault system in the northwestern of the Persian Gulf, extending for approximately 700 kilometers in a north-northeast to south-southwest direction. This fault line passes through the northwestern region of the Persian Gulf, exerting a significant influence on the geological evolution of the area. This study emphasizes on importance of the microfacies, sedimentary environments, and sequence stratigraphy of the Sarvak Formation in the western part of the Hendijan–Bahregansar–Nowrooz palaeohigh, specifically those of the Hendijan, Bahregansar, and Mahshahr oilfields in southwestern Iran. A total of 186 thin sections of rock samples was examined in terms of their petrographic, sedimentological, and stratigraphic aspects. This led to the identification of seven microfacies distributed in four facies belts of tidal flat, lagoon, shoal, and open sea. The lack of turbidites and continuous reefs indicates that carbonates of the Sarvak Formation in the studied area formed on a homoclinal ramp. Additionally, five third-order depositional sequences were identified in the strata studied northwest of the HBNF. It can be concluded that the studied area was structurally stable during the Early Cenomanian. However, starting from the Late Cenomanian, significant tectonic phases resulted in the uplift of the area along an old ridge. Furthermore, the data indicate that the uplift of the Arabian Plate during the Early Turonian had significant effects on sedimentary processes in the region. This resulted in the retreat of the sea and the occurrence of a subsequent notable erosion phase at the Cenomanian–Turonian boundary in many areas including the Bahregansar and Hendijan oilfields. The interpretation of sedimentary characteristics and depositional environments in the upper part of the Sarvak Formation in the Mahshahr Oilfield relies on seismic sections, petrophysical logs, and microfacies analysis. Based on the available information the sediments apparently accumulated in a north-northwest to south-southeast trend, forming an onlap over both sides of a palaeohigh.

Keywords: Microfacies, Depositional environments, Sarvak Formation, Persian Gulf, Sequence stratigraphy.

Introduction

The Persian Gulf is widely recognized as one of the most economically significant hydrocarbon basins in the world. The development of the Persian Gulf region occurred during the Late Cenozoic, at the northeastern edge of the Arabian Plate, where the Zagros Mountains are located in the north and northeast and the Arabian Plate (Ghazban 2007). The HBNF is a major fault system in the northwestern of the Persian Gulf with an NNE-SSW direction. This fault has

resulted in the uplift of the Hendijan–Nowrooz palaeohigh and created favorable conditions leading to the formation of such oil traps as the Hendijan and Bahregansar.

The Sarvak Formation represents one of the most important oil reservoirs in southwestern Iran. Tectonic movements along the Hendijan–Nowrooz palaeohigh influenced the sedimentary history of the Sarvak Formation in this area. The type section of the Sarvak Formation in Tang-e-Sarvak comprises 821.5m of limestones with

*Corresponding author

Sadeghi S. Hashemi H. and Beiranvand B. (2023). Sequence stratigraphy and microfacies of the Sarvak Formation, west of the Hendijan–Bahregansar–Nowrooz Palaeohigh. *Journal of Stratigraphy and Sedimentology Researches*, 39(2):1-22.



2423-8007 / © 2023 University of Isfahan

This is an open access article under the CC BY-NC-ND 4.0 License (<https://creativecommons.org/licenses/by-nc-nd/4.0/>).



<https://doi.org/10.22108/jssr.2023.138811.1266>

intercalations of shales and claystones. The rock unit transgressively overlies the Kazhdumi Formation and unconformably underlies the Gurpi Formation.

The Sarvak Formation consists of limestones, shales, dolostones, and dolomitized limestones in the northwest region of the Persian Gulf. The stratigraphic distribution of foraminifera led to the introduction of some biozones/biofacies (Wynd 1965). These include *Trocholina-Orbitolina* assemblage biozone, Oligostegina facies, *Nezzazata*-alveolinids assemblage biozone, and *Nezzazatinella-Dicyclina* assemblage biozone (Sadeghi et al. 2021). This study emphasizes on importance of the microfacies, sedimentary environments, and sequence stratigraphy of the Sarvak Formation in the western part of the Hendijan–Bahregansar–Nowrooz palaeohigh, specifically those of the Hendijan, Bahregansar, and Mahshahr oilfields of southwestern Iran.

Material & Methods

A total of 186 thin sections of rock samples from the study area were examined in terms of their petrographic, sedimentological, and stratigraphic features. The petrographic classification for carbonates is based on the Dunham classification (Dunham 1962). Wilson (1975) and Flügel (2010) facies belts and sedimentary models are also used. The schemes allow for the identification and differentiation of microfacies types based on their unique sedimentological characteristics. The sequence stratigraphic approach based on Sharland et al. (2001)'s proposed model for the Arabian Plate and its subsequent updates (Bromhead et al. 2022; Van Buchem et al. 2011; Davies et al. 2002, 2019) is followed herein. Based on the system tracts and using GIS software, changes in sedimentary environments in the study area are determined.

Discussion of Results & Conclusions

Seven microfacies distributed in four facies belts of tidal flat, lagoon, shoal, and open sea are identified from the Hendijan (HD-Y), Bahregansar (BS-X), and Mahshahr (MR-1) oilfields. Poorly fossiliferous (dolo)mudstone microfacies recognized in the Bahregansar Oilfield are comparable with the tidal facies previously reported from the Kuh-e Mond, Ahwaz Oilfield, and Sarvak Formation in the Shiraz area (Qomi Aveli 2016; Kazem Zadeh and Lotfpour 2016; Mirzaee 2020).

The presence of mud matrix in bioclast mudstone and miliolid-foraminifera mudstone-wackestone microfacies shows that, for the most part, deposition occurred in a low to moderate energy environment such as a lagoon and benthic foraminifera are the main skeletal grains. These facies occur in the Mahshahr and Bahregansar wells and were previously reported from the Kuh-e Siah, Kuh-e-Mond, and Ahwaz Oilfield (Gholami Zadeh et al. 2019; Kazem Zadeh and Lotfpour 2016).

Shoal sediments are composed of bioclast-peloid packstone-grainstone and echinoid-rudist debris grainstone microfacies. These facies occur in the Mahshahr and Bahregansar wells and exhibit characteristics of high-energy sub-environments. They were also recognized in the Kuh-e-Siah and Kuh-e-Mond, as well as in the Ahwaz, and Azadegan oilfields. The palynostratigraphic analysis of the Wara and Ahmadi formations in Kuwait (well F) revealed facies characteristics indicative of tidal and lagoon sub-environments. In the study area, however, sediments of the

Wara and Ahmadi formations exhibit characteristics of lagoon-shoal sub-environments.

The open marine facies include benthic-planktonic foraminifera wackestone and planktonic foraminifera mudstone-wackestone. The main components of this facies are planktonic foraminifera accompanied by oligosteginids. The lack of turbidites and continuous reefs indicates that carbonates of the Sarvak Formation in the studied area formed on a homoclinal ramp. Additionally, five third-order depositional sequences were identified in the strata studied northwest of the HBNF.

Depositional sequence 1 is incomplete because the lower boundary occurs within the Kazhdami Formation. There are type II sequence boundaries in the Mahshahr and Bahregansar oilfields while a type I sequence boundary is identified in the Hendijan well, due to tectonic activities of the HBNF in the Cenomanian. Comparison of the data from these wells with those from the Ahwaz Oilfield, and well F in Kuwait and Nahr-Umar in Iraq shows that the maximum flooding level (MFS) probably can be correlated with the K110 of Sharland et al. (2001) in other parts of the Arabian Plate.

Depositional sequences 2 and 3 are identified in the middle of the Sarvak Formation. The depositional sequence 2 represents the last depositional sequence identified in the Bahregansar due to the tectonic activities of the HBNF. Comparison of the data from the wells studied with those from the Ahwaz Oilfield, wells F, and Nahr-Umar signifies that the MFS of depositional sequences 2 and 3 are comparable with K120 and K130, respectively, of Sharland et al. (2001) in other parts of the Arabian Plate.

Depositional sequence 4 is the last depositional sequence identified in wells F and Nahr-Umar. Based on the similar facies changes observed in the Mahshahr well with those from Ahwaz Oilfield, Nahr-Umar, and Well F, the MFS is probably comparable to the K140 of Sharland et al. (2001) in other parts of the Arabian Plate.

Depositional sequence 5 is identified in the upper of the Sarvak Formation in the Mahshahr Oilfield. The upper boundary of this depositional sequence was coincident with the Middle Turonian disconformity. The MFS appears to be comparable with the KTu1 of Bromhead et al. (2022) in other parts of the Arabian Plate.

It can be concluded that the studied area was structurally stable during the Early Cenomanian. However, starting from the Late Cenomanian, significant tectonic phases resulted in the uplift of the area along an old ridge. Furthermore, the data indicate that the uplift of the Arabian Plate during the Early Turonian had significant effects on sedimentary processes in the region. This resulted in the retreat of the sea and subsequently, a notable erosion phase occurred at the Cenomanian–Turonian boundary in many areas including the Bahregansar and Hendijan oilfields. The interpretation of sedimentary characteristics and depositional environments in the upper part of the Sarvak Formation in the Mahshahr Oilfield relies on seismic sections, petrophysical logs, and microfacies analysis. Based on the available information, sedimentation occurred in a north-northwest to south-southeast trend forming an onlap over both sides of a palaeohigh.



مقاله پژوهشی

چینه نگاری سکانشی و ریزرخساره‌های سازند سروک در غرب بلندای قدیم هندیجان -


بهرگانسر - نوروز

سولماز صادقی، دانشجوی دکتری گروه زمین شناسی، دانشکده علوم زمین، دانشگاه خوارزمی، تهران، ایران

sadeghisolmaz6890@gmail.com

حسین هاشمی، دانشیار گروه زمین شناسی، دانشکده علوم زمین، دانشگاه خوارزمی، تهران، ایران

h.hashemi@khu.ac.ir

بیژن بیرانوند* ، استادیار پژوهشگاه صنعت نفت، تهران، ایران

biranvandb@ripi.ir

چکیده

سازند سروک (کرتاسه میانی) یکی از مهم‌ترین مخازن نفتی در جنوب غرب ایران به شمار می‌رود. گسل هندیجان-بهرگانسر-نوروز به طول بیش از ۷۰۰ کیلومتر یک گسل تقریباً عمودی-راست‌گرد لغزشی در روند غربی (NNE-SSW) است که ضمن عبور از شمال غربی خلیج فارس و تأثیرگذاری بر تکامل زمین شناسی منطقه نقش مهمی در تحولات چینه شناسی و رخساره‌های رسوبی سازند سروک داشته است. از اینرو در مطالعه اخیر به بررسی ریز رخساره‌ها، محیط رسوبی و چینه نگاری سکانشی سازند سروک در غرب بلندای قدیم هندیجان-بهرگانسر-نوروز در میدانی هندیجان، بهرگانسر و ماهشهر پرداخته شد. برای این منظور تعداد ۱۸۶ مقطع نازک مورد مطالعات پتروگرافی، رسوب شناسی و چینه شناسی قرار گرفت. این مطالعه مجموعاً منجر به شناسایی ۷ ریزرخساره در ۴ کمربند رخساره‌ای پهنه جزر و مدی، لاگون، سد، و دریای باز گردید. وجود ریف‌های پشته‌ای و نبود رسوبات توریدایتی یک پلاتفرم کریناته کم عمق از نوع رمپ را برای تشکیل رسوبات سازند سروک در این ناحیه پیشنهاد می‌کند. همچنین چینه نگاری سکانشی رسوبات مورد مطالعه در شمال غرب گسل هندیجان-بهرگانسر-نوروز منجر به شناسایی پنج سکانشی رسوبی رده سوم شد. بر اساس نتایج به دست آمده، اگرچه منطقه مورد مطالعه در اوایل سنومانین از نظر ساختاری پایدار بود اما از اواخر سنومانین تحت تأثیر فازهای تکتونیکی مهم در امتداد یک برجستگی قدیمی شروع به بالآمدن کرد. همچنین بالآمدگی صفحه غربی در اوایل تورونین، موجب عقب نشینی آب دریا و خروج رسوبات سنومانین از آب و در نتیجه وقوع یک فاز فرسایشی مهم در مرز سنومانین و تورونین در بیشتر مناطق (میدان بهرگانسر و هندیجان) شد. در میدان ماهشهر به دلیل نبود سنگواره‌های شاخص، اطلاعات جامع و با استناد به اطلاعات مقاطع لرزه نگاری، لاگ‌های پتروفیزیک و مطابقت ریز رخساره‌ها با چاههای مشابه احتمالاً رسوبات کریناته بخش فوقانی سازند سروک در روند شمال شمال غرب - جنوب جنوب شرق، به صورت آنلپ در کناره‌های این بلندای قدیمه ته‌نشین شدند.

واژه‌های کلیدی: سروک، چینه نگاری سکانشی، خلیج فارس، کرتاسه میانی، ماهشهر

*نویسنده مسئول

صادقی، س.؛ هاشمی، ح. و بیرانوند، ب. (۱۴۰۲). چینه نگاری سکانشی و ریزرخساره‌های سازند سروک در غرب بلندای قدیم هندیجان-بهرگانسر-نوروز.

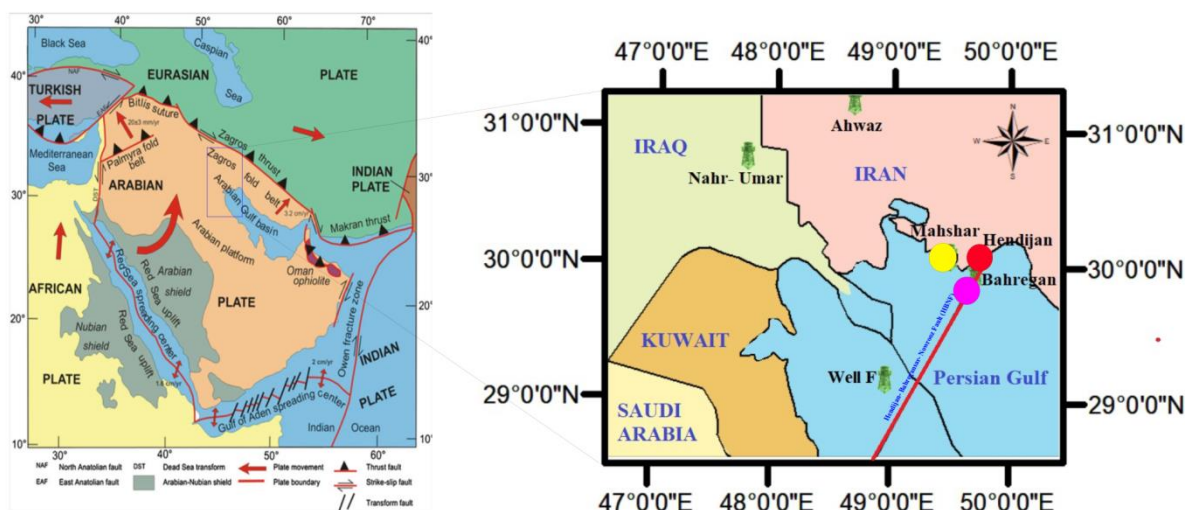
پژوهش‌های چینه نگاری و رسوب شناسی، ۳۹(۲)، ۲۳-۴۴.



مقدمه

توسعه یافت (Ghazban 2007). گسل هنديجان- بهرگانسر- نوروز (HBN Fault) در شمال غربی خلیج فارس یک گسل تقریباً عمودی- راست‌گرد لغزشی همراه با یک شیب عمیق در روند عربی NNE- SSW است. مؤلفه لغزش عمیق این گسل اصلی، بلندای قدیم هنديجان- نوروز را به وجود آورد و بسیاری از نفت‌گیرهای ساختاری، مانند تاقدیس هنديجان، بهرگانسر و ماهشهر در مجاورت گسل هنديجان- بهرگانسر- نوروز قرار دارند (شکل ۱).

خلیج فارس به علت وجود توالی‌های رسوبی ضخیم، سنگ‌های مخزن، منشأ، و پوش سنگ، گستردگی ناحیه‌ای و وضعیت استراتژیک یکی از اقتصادی‌ترین حوضه‌های هیدروکربوری جهان به شمار می‌رود. این منطقه در اواخر سنوزوئیک در حاشیه شمال شرقی ورق عربی (Arabian Plate) و اوراسیا، جایی که کوه‌های زاگرس در شمال و شمال‌شرق آن و سپر عربی در بخش غربی آن قرار دارد،



شکل ۱- موقعیت جغرافیایی چاههای مورد مطالعه (ماهشهر، هنديجان و بهرگانسر) در صفحه عربی (El-aziz et al. 2022).

Fig 1- location of the studied oilfields (Mahshahr, Hendijan and Bahregansar) on the Arabian Plate (El-aziz et al. 2022).

میانی (آلین پسین - تورونین) یکی از مخازن مهم نفتی ایران و کشورهای عربی در این حوضه است. از آنجایی که رخساره‌ها توسط فرایندهای حاکم بر محیط رسوبی کنترل می‌شوند، مطالعه آنها به تفسیر فرایندهای هم‌زمان با رسوب‌گذاری کمک زیادی می‌کند. تجزیه و تحلیل رخساره‌ها روش مناسبی جهت مشخص کردن مجموعه‌های رسوبی با ویژگی‌های سنگ‌شناسی، فیزیکی و بیولوژیکی مشابه بوده که نشانه‌های کلیدی را جهت شناسایی سطوح چینه‌نگاری، محیط‌های رسوبی دیرینه، بازسازی جغرافیای دیرینه و چینه‌نگاری سکansı فراهم می‌سازد (Catuneanu 2006). هدف این مطالعه

براساس مطالعات قبلی، بلندای قدیم هنديجان - نوروز از آبتین تا تقریباً اواخر سنومانین تحت تأثیر حرکات تکتونیکی قرار نداشت. فعالیت‌های تکتونیکی پس از سنومانین منجر به جابه‌جایی بلوک‌ها در امتداد هنديجان - نوروز که تا این زمان آرام بود، گردید و در نهایت ناپیوستگی بعد از سنومانین را در منطقه به وجود آورد. در آغاز تورونین رسوبات کربناته سروک فوقانی در روند شمال شمال غرب - جنوب جنوب شرق که به موازات جهت بلندای قدیم است، به صورت آنلپ در کناره‌های بلندای قدیم ته‌نشین گردید (Mohammadrezaei et al. 2020; Al- Husseini 2007). سازند سروک به سن کرتاسه

تشخیص رخساره‌های میکروسکپی، محیط‌های رسوبی، و چینه نگاری سکانسی سازند سروک در غرب بلندای قدیم هندیجان- بهرگانسر- نوروز در میداین هندیجان، بهرگانسر، ماهشهر و مقایسه آنها با داده‌های مربوط به مناطق مجاور است.

ویژگی‌های زمین‌شناسی منطقه مورد مطالعه

مقطع چینه شناسی تیپ سازند سروک (کرتاسه میانی) در تنگ سروک استان خوزستان شامل ۸۲۱/۵ متر سنگ آهک‌های خاکستری تیره- قهوه‌ای روشن ضخیم لایه تا توده‌ای رودیست‌دار همراه با میان‌لایه‌هایی از شیل و آهک رسی هست. حد پایینی این سازند در برش چینه‌شناسی نمونه با سازند کژدمی تدریجی و حد بالایی آن با سازند شیلی گورپی قاطع و آغشته به ترکیبات آهن‌دار است که می‌تواند معرف یک ناپوستگی فرسایشی باشد (Motiei 1994). با توجه به اهمیت سازند سروک مطالعات مختلفی در این زمینه انجام شده که از جمله می‌توان به مورد زیر اشاره کرد:

وایند (Wynd 1965) بایوزون‌ها و رخساره‌های زیستی متعددی را در نهشته‌های مزوزوئیک- سنوزوئیک منطقه زاگرس معرفی نمود که پس از آن خلیلی (Khalili 1976) با استفاده از مطالعه Wynd (1965) نقشه‌های رخساره‌ای و هم‌ضخامت سازندهای سروک و ایلام را در محدوده وسیعی از حوضه زاگرس ترسیم نمود. ناصری و همکاران (Naseri et al. 2005) با مطالعه دو برش از سازند سروک (برش نمونه و برش چاه پارسی ۳۵) تعداد ۹ میکروفاسیس، ۳ بیوفاسیس و دوسیکل رسوبی مشخص شناسایی کرد. در این پژوهش تغییرات جانبی شدید رخساره‌ها در چاه پارسی ۳۵ نسبت به برش نمونه را به بالا بودن کوه بنگستان در زمان رسوبگذاری آهک‌های سازند سروک نسبت دادند. پیریایی و همکاران (Piryaei et al. 2010) با مطالعه و بازنگری سن سازند سروک در ناحیه فارس سه فاز تکتونیکی موثر بر نحوه رسوبگذاری سازند سروک شناسایی کردند که در تفسیر پالئوژئوگرافی حوضه، میزان رسوبگذاری و نبوده‌های رسوبی بسیار حائز اهمیت است. رزین و همکاران (Razin et al. 2010) در

رسوبات سنوماین - تورنین جنوب غرب ایران چهار سکانس رسوبی درجه سه را معرفی و آن را به عنوان یک مثال از پلاتفرم‌های کربناته جهت بررسی تغییرات سطح آب دریا و میزان فضای رسوبگذاری در نظر گرفتند. حاجی کاظمی و همکاران (Hajikazemi et al. 2012) چینه‌نگاری شیمیایی کربنات‌های سنوماین- تورنین سازند سروک را در ۵ مقطع چینه شناسی در کوه‌های بنگستان، میداین رگ سفید و بی بی حکیمه بررسی نمودند. امیدوار و همکاران (Omidvar et al. 2014) به اصلاح زون‌بندی فرامینفرهای سازند سروک در فروافتادگی دزفول همراه با مطالعات رسوب‌شناسی و ژئوشیمیایی پرداختند. وینست و همکاران (Vincent et al. 2015) با مطالعه چینه نگاری رسوبات آلبن - تورنین (سازند کژدمی و سروک) در جنوب غرب ایران (منطقه فارس)، رسوبات کربناته آلبن را تحت تاثیر تغییرات سطح آب دریا و رسوبات کربناته سنوماین تا تورنین را تحت تاثیر فعالیت‌ها تکتونیکی و دیپایریسم‌ها در نظر گرفته‌اند. نویدطلب و همکاران (Navidtalab et al. 2016) با مطالعه سازند سروک و ایلام در منطقه رگ سفید، دو سطح دیاژنتیکی پیچیده در بازه زمانی سنوماین- تورنین و دیگری در تورنین میانی شناسایی کردند. مطالعه سروک بالایی در منطقه ایذه توسط وزیری مقدم و کلنات (Kalanat and Vaziri-Moghaddam 2019) نشان‌دهنده تغییرات محتوای فسیلی و پالئوکولوژی در پاسخ به میزان اکسیژن در رابطه با تغییرات آب و هوایی محیط در مرز سنوماین - تورنین است. غلامی زاده و همکاران (Gholami Zadeh et al. 2019) با مطالعه چینه نگاری سازند سروک در کوه موند و کوه سیاه، ۱۵ ریز رخساره مربوط به محیط‌های لاگون، ریف، دریای باز و دریای عمیق همراه با محیط رمپ شناسایی کردند. همچنین در این مطالعه ۶ سکانس رسوبی درجه سه مشخص شد. میرزایی محمود آبادی (Mirzaei Mahmoodabad 2020) ۱۰ میکروفاسیس و ۸ نوع تخلخل از سازند سروک در میدان نفتی اهواز معرفی نمود. کاک میم و همکاران (Kakemem et al. 2022) سازند سروک را در دزفول شمالی (میداین اهواز و منصوری) مطالعه و ۱۲ ریز رخساره شناسایی کردند که در یک محیط رمپ

می‌کند و نزدیک به امتداد شمالی-جنوبی تاقدیس‌های هندیکان و بهرگانسر است. سازند سروک در چاه شماره ۱ (MR-1) به ضخامت ۷۴۵ متر به صورت زیر است:

در عمق ۳۲۱۱ تا ۳۸۵۶ متر شامل آهک و میان‌لایه‌هایی از

دولوستون و آهکی‌های دولومیتی است. فونای این بخش

Dicyclina schlumbergeri, *Nezzazata simplex*, *Valvulammina picardi*, *Alveolinids*, *Orbitolina* spp., *Charentia cuvilleri*, *Chrysalidina gradata*, *Nummuloculina* sp., *Dictyoconous* sp., *Hemicyclammina sigali*, *Ovalveolina Ovum*, *Praealveolina* sp., *Biplanata peneropliformis*, *Pseudolituonella reicheli*, *Reticulinella reicheli*, *Multispirina iranensis*, *Nezzazata conica*, *Rabanitina basraensis*, *Taberina bingestani*, *Oligosteginids*, *Hedbergella washitensis*, *Pseudorhapydionina dubia*, *Praechrysalidina inferacretacea*, *Miliolids*, *Radiolaria*, *Rudist debris*, *Echinoid fragments*, *Algae*

است که براساس بیوزوناسیون واینند (Wynd 1965) معادل

بایوزون‌های ۲۵ و ۲۴ است.

فاصله ۳۸۵۶ تا ۳۹۵۴ متر با توالی از آهک‌های آرژیلیتی

خاکستری‌رنگ و محتوای فسیلی زیر:

Hedbergella washitensis, *Oligosteginids*, *Globigerinelloides* sp., *Hedbergella* spp., *Nezzazata simplex*, *Nezzazata conica*, *Alveolinids*, *Orbitolina* spp.

براساس بیوزوناسیون واینند (Wynd 1965) معادل بایوزون

۲۶ است (شکل ۲). با توجه به نبود فسیل‌های شاخص سن سازند سروک در این چاه آلبین پسین-تورونین؟ در نظر گرفته شد.

میدان نفتی بهرگانسر در شمال غربی خلیج فارس و

جنوب شرقی بخش هندیکان واقع شده است. براساس

تقسیم‌بندی مناطق ساختمانی ایران توسط اشتوکلین (Stocklin

1968)، بهرگانسر در غرب خلیج فارس و دشت آبادان

(اروندرو) و ادامه فلات عربی است. سازند سروک در چاه

BS-x با ضخامت ۱۲۸ متر به سن آلبین پسین-؟ سنومانین

با لیتولوژی آهک و میان‌لایه‌هایی از دولوستون به صورت

زیر است:

در فاصله ۲۶۸۶ تا ۲۸۰۰ متری با فونای :

Nezzazata simplex, *Nezzazata conica*, *Nezzazata* spp., *Praealveolina cretacea*, *Dictyoconous* sp., *Chrysalidina gradata*, *Ovalveolina ovum*, *Cuneolina pavonia*,

هموکلینال نهشته شدند. مهرابی (Mehrabi 2023) به بررسی سازند سروک در جنوب و جنوب غرب ایران پرداخته و فعالیت‌های تکتونیک همراه با تغییرات محیطی را عوامل کنترل‌کننده رخساره‌ها در نظر گرفت. در این پژوهش فازهای اصلی دیاژنز مربوط به زمان سنومانین-تورونین است. در این مطالعه سعی شده رخساره‌های میکروسکوپی، محیط‌های رسوبی، و چینه‌نگاری سکانشی سازند سروک در غرب بلندای قدیم هندیکان-بهرگانسر-نوروز در سه چاه از میادین هندیکان، بهرگانسر، ماهشهر شناسایی و با داده‌های مربوط به مناطق مجاور مقایسه شود.

در شمال غربی خلیج فارس یک گسل پی‌سنگی تقریباً

عمودی-راست‌گرد لغزشی به طول بیش از ۷۰۰ کیلومتر (از

کوه بنگستان تا خفجی در عربستان) با شیب زیاد در روند

عربی NNE-SSW قرار دارد (Shiroodi et al. 2015) که

حرکات تکتونیک در امتداد آن سبب ایجاد بلندای قدیم

(Palaeohigh) هندیکان-بهرگانسر - نوروز شد و تاریخچه

رسوبگذاری سازند سروک در این ناحیه را تحت تاثیر خود

قرار داد. این سازند در شمال غرب خلیج فارس، با ضخامت

صفر تا ۷۰۰ متر شامل آهک، آهک با میان‌لایه‌های شیل،

شیل، آهک‌های دولومیتی شده و دولوستون است. مطالعه

هم‌زمان تکتونیک، تغییرات سطح آب دریا، و الگوی

پراکندگی چینه‌شناسی روزنیران در شمال غرب خلیج فارس

(در دو امتداد غرب به شرق و شمال به جنوب) حاکی از آن

است که در حالت کلی می‌توان براساس بیوزوناسیون واینند

(Wynd 1965) زون‌های زیستی/رخساره‌های زیستی

Trocholina - *Orbitolina* assemblage biozone,

Oligostegina facies, *Nezzazata*- *alveolinids* assemblage

biozone, *Nezzazatinella*-*Dicyclina* assemblage biozone

(معادل زون‌های زیستی ۲۱، ۲۶، ۲۵ و ۲۹) را در سازند

سروک این منطقه معرفی کرد و زون‌های زیستی ۲۳ و ۲۴ در

داخل همین زون‌های زیستی قرار دارند (Sadeghi et al.

2021). ساختمان زمین‌شناسی ماهشهر در حاشیه شمالی

خلیج فارس (دزفول شمالی) قرار دارد. امتداد محور این

تاقدیس از روند شمال غرب - جنوب شرق زاگرس تبعیت

بیوزوناسیون وایند (Wynd 1965) معادل بایوزون ۲۶ است :

Stomisphaera sphaerica, Oligosteginids, *Hemicyclammina* sp.?, Echinoid frgments, *Favusella washitensis*, *Pithonella ovalis*, *P. trejoi*.

میدان نفتی هندیجان در شمال غربی خلیج فارس و در

فاصله ۱۰ کیلومتری شمال شرقی میدان بهرگانسر واقع شده

است. سازند سروک در چاه HD-Y با ضخامت ۹۴ متر به

صورت یکنواخت از سنگ آهک تا سنگ آهک آرژیلیتی

همراه با فونای *Favusella washitensis*, *Hedbergella* spp.,

Heterohelix spp., Oligosteginids, Echinoid fragments

معادل بایوزون ۲۶ از بیوزوناسیون وایند (Wynd 1965) و سن

آلبین پسین؟- سنومانین است (شکل ۲).

Dictyoconus sp., Alveolinids, *Orbitolina* sp., *pseudotextularia* sp., Textulariids, Miliolids, Ostracod, Algae, Echinoid, shell fragments.

و براساس بیوزوناسیون وایند (Wynd 1965) معادل بایوزون

۲۵ است.

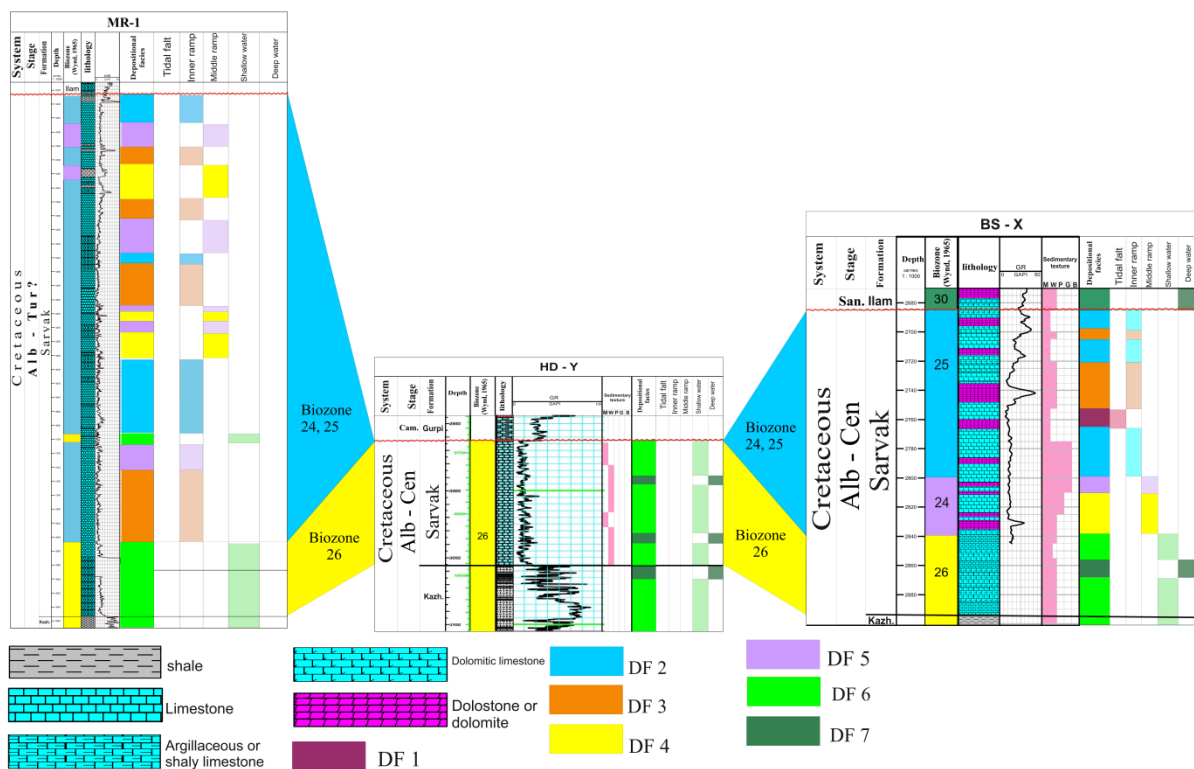
در عمق ۲۸۰۰ تا ۲۸۴۰ متر با فونای زیر براساس

بیوزوناسیون وایند (Wynd 1965) می تواند معادل بایوزون ۲۴

باشد:

Rudist, *Orbitolina* sp., *Dicyclina* sp., *Dictyoconus* sp., *Cuneolina* sp., *Nezzazata* sp. *Nummoloculina hemi*, *Peneroplis turonicus*, *Chrysalidina* sp., *Textularids*, Miliolids, Algae, Echinoid, shell fragments.

در عمق ۲۸۴۰ تا ۲۸۹۰ متر با محتوای فیسیلی زیر براساس



شکل ۲- ستون چینه شناسی و انطباق بایوزون های زیستی در برش های چینه شناسی مورد مطالعه در شمال غرب خلیج فارس.
Fig 2- Stratigraphic columns and correlation of the studied sections in northwest of Persian Gulf

روش کار (1962)، طبقه‌بندی میکروفاسیس‌ها و نام‌گذاری آنان با روش فلوگل (Flügel 2010) و ویلسون (Wilson 1975) انجام شده است (شکل ۲ و ۳). همچنین از تلفیق اطلاعات حاصله با داده‌های لاگ پتروفیزیکی گاما، اطلاعات لرزه‌ای و چینه نگاری سکansı براساس مدل سکansı معرفی شده برای صفحه عربی توسط (Sharland et al. 2001) و به روز رسانی آن

جهت شناسایی میکروفاسیس‌ها و تعیین محیط رسوب‌گذاری سازند سروک در میدان نفتی هندیجان، بهرگانسر و ماهشهر، تعداد ۱۸۶ مقطع نازک مورد مطالعات پتروگرافی، رسوب‌شناسی و چینه‌شناسی قرار گرفت. نام‌گذاری سنگ‌های آهکی در این مطالعه بر اساس طبقه‌بندی دانهام (Dunham

این زیر رخساره حاکی از شرایط محیطی کم عمق نظیر لاگون است. این رخساره در چاه‌های ماهشهر و بهرگانسر شناسایی شده و مشابه آن از سازند سروک در کوه موند و کوه سیاه (Gholami Zadeh et al. 2019)، میدان نفتی اهواز (Kazem Zadeh and Lotfpour 2016)، بخش بالایی سروک در میدان سیری (Khanjani et al. 2015) و کوه بنگستان (Ghabeishavi et al. 2010) گزارش شده است.

ریز رخساره شماره ۳: میلیولید- فرامینیفرا مادستون-

وگستون

DF 3: Miliolid- Foraminifera Mudstone- Wackeston
اگرچه ماتریکس گلی همراه با میلیولید مهم‌ترین اجزای این ریز رخساره هستند ولی سایر فرامینیفراهای بتتیک مانند *Nezzazata*, *Textularia*, *Alveolina* و اجزای غیراسکلتی *Peloid* هم دیده می‌شوند. وجود فرامینیفراهای پورسلانوز نظیر *Miliolids* و *Alveolinids* با *Echinoid* نشانگر این است که در این رخساره ارتباط خوب محیط لاگون با دریای باز از طریق کانال‌های بین سدی برقرار بوده و با ریز رخساره استاندارد (RMF 16) در تقسیم‌بندی فلوگل (Flugel 2010) و کمربند رخساره ای ۸ ویلسون (Wilson 1975) مطابقت دارد. این ریز رخساره در چاه‌های ماهشهر و بهرگانسر مشاهده و مشابه رخساره‌های لاگونی گزارش شده از سازند سروک کوه موند و کوه سیاه (Gholami Zadeh et al. 2019)، میدان آزادگان (Saeedi Razavi et al. 2019)، از میدان نفتی اهواز (Kazem Zadeh and Lotfpour 2016) و کوه بنگستان (Ghabeishavi et al. 2010) است.

ریز رخساره شماره ۴: بایوکلاست- پلوئید پکستون-

گرینستون

DF4: Bioclast - Peloid Packstone- Grainstone
فرامینیفراهای بتتیک، رودیست، و پلوئید آلوکم‌های اصلی تشکیل دهنده این ریز رخساره هستند که همراه با آنها ایتراکلاست نیز دیده می‌شود. این ریز رخساره با رخساره استاندارد (RMF 8) در تقسیم‌بندی فلوگل (Flugel 2010) و کمربند رخساره ای ۷ ویلسون (Wilson 1975) مطابقت دارد.

توسط (Van Buchem et al. 2011; Bromhead et al. 2022) Davies et al. 2002, 2019; شرایط محیطی رسوبی منطقه مورد مطالعه براساس سیستم ترک‌ها با استفاده از نرم افزار GIS رسم شد.

میکروفاسیس‌های سازند سروک در میداین مورد مطالعه

ریز رخساره شماره ۱: سنگ آهک دولومیتی کم فسیل

DF 1: Poorly fossiliferous (dolo)mudstone

زمینه این ریز رخساره میکرایتی همراه با دولومیت‌های ریز- بلور و تخلخل چشم‌پرنده ای (فنسترال) است. این ریز رخساره مشابه رخساره رمپ (RMF 22) در تقسیم‌بندی فلوگل (Flugel 2010) و کمربند رخساره‌ای شماره ۹ ویلسون (Wilson 1975) است. فقدان فسیل در این ریز رخساره نشانه چرخش محدود آب و نبود شرایط مناسب برای زیست موجودات دریایی است (Alsharhan and Kendall 2002). همچنین آغشتگی به اکسید آهن، و تخلخل فنسترال ممکن است نشانه خروج موقت رسوبات از آب و محیط‌های جزرومدی باشد (Wilson 1975; Flugel 2010). این رخساره از سازند سروک در چاه بهرگانسر مشاهده شد که قابل مقایسه با رخساره‌های جزرومدی گزارش شده از کوه موند (Qomi Aveili 2016)، میدان نفتی اهواز (Kazem Zadeh and Lotfpour 2016) و سازند سروک در شیراز (Mirzaee 2020) است.

ریز رخساره شماره ۲: بایوکلاست مادستون

DF 2: Bioclast Mudstone

این ریز رخساره با خرده‌های زیستی مانند گاستروپود، دوکفه‌ای، قطعات اکیئوئید و فرامینیفراهای بتتیک (*miliolid*) و اجزای غیراسکلتی مانند پلوئید با فراوانی ۱۰ تا ۲۰ درصد شناسایی شد. مهم‌ترین فرآیندهای دیاژنتیکی این رخساره *Biomoldic* و انحلال پوسته‌های آراگونیتی است. این رخساره معادل رخساره استاندارد (RMF 19) در تقسیم بندی فلوگل (Flugel 2010) و کمربند رخساره ای ۸ ویلسون (Wilson 1975) می باشد. حضور روزنبران کف زی خصوصاً از نوع *Miliolid* و وجود ماتریکس گلی فراوان در

مشابه آن از کوه موند و سیاه (Gholami Zadeh et al. 2019)، میدان آزادگان (Saeedi Razavi et al. 2019)، از میدان نفتی اهواز (Kazem Zadeh and Lotfpour 2016)، بخش بالایی سروک در میدان سیری (Khanjani et al. 2015) و کوه بنگستان (Ghabeishavi et al. 2010) نیز گزارش شده است.

ریز رخساره شماره ۷: پلانکتون فرامینفرا مادستون -

وکستون

DF7: Planktonic foraminifera mudstone-wackestone

اجزاء اصلی تشکیل دهنده این ریز رخساره الیگوستریناها و انواع روزنیران پلانکتونیک مانند *Heterohelix*, *Hedbergella* و سوزن اسفنج ها است که در یک زمینه میکرایتی همراه با کمی سیمانی مشاهده می‌شود. فراوانی فونای پلانکتون، عدم وجود فونای بنتیک و فابریک گل پشتیبان، نشانگر ته‌نشست در محیط کم‌انرژی دریای باز و زیر سطح تاثیر امواج در شرایط عادی است (Romero et al. 2002). حضور *Pithonella trejoi* به همراه فرامینفرهای پلانکتون با پوسته ضخیم (*Favusilida*) نشان دهنده محیط غنی از کربنات کلسیم، آب و هوای گرم و شوری نرمال است که در رمپ‌های خارجی تا مناطق کم‌عمق باتیال (۴۰۰-۲۰۰ متر) گسترش دارند (Villan 1977). این رخساره از هندیجان و بهرگانسر گزارش و مشابه رخساره‌های معرفی شده از کوه موند و سیاه (Gholami Zadeh et al. 2019)، میدان نفتی اهواز (Zadeh et al. 2019)، بخش بالایی سروک در میدان سیری (Lotfpour 2016)، بخش بالایی سروک در میدان سیری (Khanjani et al. 2015) و کوه بنگستان (Ghabeishavi et al. 2010) است.

مقایسه رخساره‌های سازند سروک در منطقه مورد مطالعه

الف) سازند یا بخش مادود

سازند مادود اولین بار در قطر، و به رسوبات کربناته حاصل از پیشروی آب دریا در اواخر آلبین - اوایل سنومانین اطلاق شد. همزمان با پیشروی آب دریا و کاهش ورود رسوبات حاصل از فرسایش صفحه عربی (سازند بورگان و هم ارز آن سازند کزدمی در بخش ایرانی)، رسوبات کربناته در سراسر صفحه عربی ته نشین شد (Sadooni and Alsharhan 2003). این سازند

ویژگی‌های بافتی این رخساره نشان می‌دهد که به دلیل عملکرد جریان پر انرژی در یک محیط آشفته (مانند سد)، میکرایت از محیط خارج شده و سیمان جایگزین آن شده است. بنابراین می‌توانیم آن را به یک محیط با انرژی بالا و نزدیک به سد نسبت بدهیم. این رخساره در چاه‌های ماهشهر و بهرگانسر شناسایی و از سازند سروک در کوه موند و کوه سیاه (Gholami Zadeh et al. 2019)، میدان آزادگان (Saeedi Razavi et al. 2019)، از میدان نفتی اهواز (Kazem Zadeh and Lotfpour 2016)، کوه بنگستان (Ghabeishavi et al. 2010) نیز گزارش شده است.

ریز رخساره شماره ۵: اکینوئید - رودیست گریستون

DF 5: Echinoid- Rudist debris Grainstone

مهمترین آلوکم این زیررخساره قطعات اکینوئید، قطعات رودیست و خرده‌های پوسته دوکفه‌ای ها و قطعات غیراسکلتی از پلوئیدها است که با رخساره استاندارد (RMF7) فلوگل (Flugel 2010) و کمر بند رخساره ای 11 ویلسون (Wilson 1975) مطابقت می‌کند. این رخساره در چاه‌های ماهشهر و بهرگانسر شناسایی و مشابه آن در کوه موند و کوه سیاه (Gholami Zadeh et al. 2019)، میدان نفتی اهواز (Kazem Zadeh and Lotfpour 2016) و کوه بنگستان (Ghabeishavi et al. 2010) نیز گزارش شده است.

ریز رخساره شماره ۶: بنتیک - پلانکتونیک فرامینفرا

وکستون

DF 6: Benthic-Pelanktonic Foraminifera Wackestone

فرامینفرهای بنتیک و پلانکتونیک اجزاء اصلی این ریز رخساره هستند که همراه آنها دوکفه‌ای‌ها، اکینوئید و پلوئید هم با فراوانی کمتر دیده می‌شوند. این ریز رخساره با رخساره استاندارد (RMF 3) در تقسیم‌بندی فلوگل (Flugel 2010) مطابقت دارد. فراوانی قابل توجه فرامینفرهای پلانکتون و بنتیک، همراه با اکینوئید، پلوئید و وجود شواهدی از آشفستگی رخساره‌ها نشان‌دهنده رسوبگذاری در قسمت‌های انتهایی محیط رمپ‌مییانی می‌باشد (Flugel 2010). این رخساره از هر سه چاه ماهشهر، هندیجان و بهرگانسر شناسایی و

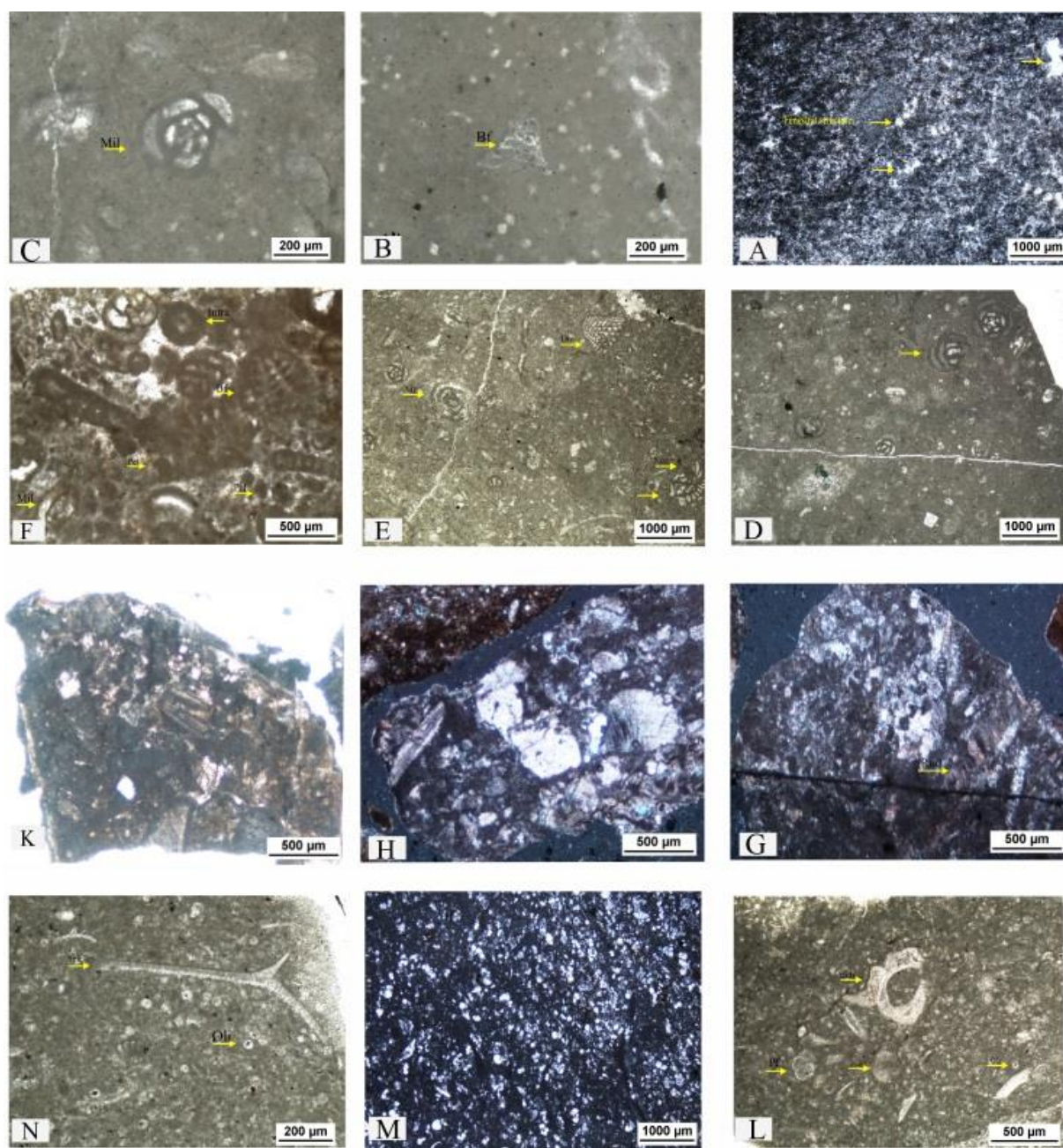
پ) سازندهای رومیله و میشریف

سازند های رومیله و میشریف شامل آهک، دولومیت، مارن و شیل های آهکی است که از اواخر سنومانین تا تورونین رخساره های کم عمق تا عمیق را شامل می شوند (Gaddo 2003; Sadooni and Alsharhan 1971). در بخش شمال غرب خلیج فارس به دلیل فعالیت تکتونیکی ارتفاعات قدیمی هندیمان- بهرگانسر- نوروز، بخش اعظم سازندهای رومیله و میشریف فرسایش یافته و از بین رفته است. در این سازند حضور قابل توجه *Dicyclina*, *Praealveolinids* همراه با قطعات جلبک، رودیست و دوکفه ای ها بیانگر محیط لاگون تا سدی است. به طور کلی شواهد بیواستراتیگرافی چندانی از وجود نهشته های تورنین در قسمت بالایی سازند سروک وجود ندارد (Schlagintweit and Simmons 2022). قسمت بالایی سازند سروک با وجود بیوزون ۲۹- (*Valvulamina* Dicyclina Assemblage Zone) از الگوی زون بندی زیستی وایند (Wynd 1965) به سن تورونین در نظر گرفته می شود (مانند میدان اهواز) اگرچه بیوزون مذکور به دلیل حضور *Moncharmontia apenninica* (تورونین) به- *apenninica* *Nezzazatinella* - *Dicyclina* Assemblage Zone (Omidvar et al. 2014) تغییر داده شده است اما شواهدی دال بر وجود *M. apenninica* در لایه های سنومانین نیز گزارش شده است (Schlagintweit and Yazdi 2021). Moghadam نبود فسیل های شاخص در میدان ماهشهر موجب شد، سن تورونین پیشین در تطابق با میدان اهواز همچنین بر مبنای اطلاعات لرزه ای (شکل 5C)، لاگ های پتروفیزیک و جایگاه چینه شناسی در نظر گرفته شد.

در چاه F (کویت) و نهر عمر (عراق) با فراوانی قابل توجه *Rudist* و *Algae*, *Orbitolina* بیانگر رخساره های محیط سدی و لاگونی (رخساره های ۲ تا ۵) است (Sadooni and Alsharhan 2014; Alsharhan et al. 2003). همانطور که در شکل ۲ مشاهده می شود سازند مادود در میداین بهرگانسر، هندیمان، ماهشهر شامل ریز رخساره های رسوبی ۶ و ۷ همراه با بایوزون ۲۶ وایند (Wynd 1965) است و رخساره های ذکر شده در ادامه با رخساره های ۳، ۴ و ۵ جایگزین می شوند.

ب) سازند یا بخش وارا- احمدی

سازند وارا از ماسه سنگ و میان لایه های شیلی و کربناته تشکیل شده است که با پیشروی دوباره آب، رسوبات کربناته سازند احمدی، بخش وارا را می پوشاند (Youssef et al. 2019). رسوبات سازند احمدی به دویخش کربناته در قاعده و رسوبات شیلی در بخش های بالایی تقسیم می شود. نتایج مطالعات پالینوستراتیگرافی سازند وارا و احمدی در کویت (چاه F) بیانگر رخساره های جزر و مدی تا لاگونی بود (Sadooni and Alsharhan 2003; Alsharhan et al. 2014). با این وجود به دلیل عمق بیشتر حوضه در بخش شمال غرب صفحه عربی رسوبات وارا به صورت کربناته بوده و تفکیک آن از بخش احمدی ناممکن است. بنابراین در شمال صفحه عربی (میداین مطالعه شده) وجود محتوای فسیلی زون های زیستی ۲۴، ۲۵ وایند (Wynd 1965) و لیتولوژی کربناته، رخساره رسوبی محیط های لاگون- سدی (رخساره های ۲ تا ۵) را نشان می دهد.



شکل ۳- A) سنگ آهک دولومیتی کم فسیل، B, C) بایوکلست مادستون، D, E) میلیولید- فرامینیفر مادستون- وکستون، F, G) بایوکلست- پلوئید پکستون- گریستون، H, K) اکتینوئید- رودیست گریستون، L) بتیک - پلانکتونیک فرامینیفر وکستون، M, N) پلانکتون فرامینیفر مادستون- وکستون. علائم اختصاری عبارت اند از: Mil: میلیولید، Nez: *Nezzazata*، Ech: Echinoid، Rud: Rudist debris، Spic: سوزن اسفنج، Oli: الیگوسترنید، Pf: فرامینیفر پلانکتون، Bf: فرامینیفر پلانکتون، Or: اریتولینید، Intra: اینتراکلست، Pel: پلوئید، Dic: دیسیکلینا.

Fig 3- A) Poorly fossiliferous (dolo)mudstone; B, C) Bioclast Mudstone; D, E) Miliolid- Foraminifera Mudstone- Wackeston; F, G) Bioclast- Peloid Packstone- Grainstone; K, H) Echinoid- Rudist debris Grainstone; L) Benthic- Pelanktonic Foraminifera Wackestone; M, N) Planktonic foraminifera mudstone- wackestone.

The abbreviations are: Mil: Miliolid, Nez: *Nezzazata*, Ech: Echinoid, Rud: Rudist debris, Spic: Spicul sponge, Oli: Oligosteginid, Pf: Plankton foraminifera, Bf: benthic foraminifera, Or: Orbitolinid, Intra: Intraclast, Pel: Peloid, Dic: *Dicyclina*.

بازسازی محیط رسوبی

سروک با رخساره های مشابه در تقسیم‌بندی فلوگل

(Flügel 2010)، محیط تشکیل آنها به زیر محیط‌های دریای

براساس مقایسه رخساره‌های شناسایی شده در سازند

سکانسی تعریف شده در این بخش براساس مدل سکانسی صفحه عربی (Sharland et al. 2001) و به روزرسانی آن توسط (Van Buchem et al. 2011; Davies et al. 2002, 2019; Bromhead et al. 2022) صورت گرفته است. در این مدل نهشته رسوبی به توالی های رسوبی درجه سه همراه با مرزهای سکانسی تقسیم می شوند. هر سکانس با یک مرز سکانسی دارای شواهدی از افزایش رسوبات آواری، هوازدهی، و کارستی شدن مشخص می شود که در ادامه با رسوبات مارنی و رسی دنبال شده و در حداکثر پیشروی سطح آب دریا با تشکیل رسوبات کربناته ادامه پیدا می کند. پس از آن دوباره با پسروری آب دریا (highstand)، رسوبات آواری و رسی در رسوبات پلت فرم داخلی نهشته شده ولی رسوبات پلت فرم میانی و خارجی همچنان رسوبات کربناته هستند. با این وجود در Lowstands ممکن است در حوضه های اینتراشلفی و در حاشیه پلت فرم ها حاوی رسوبات سیلیسی آواری قابل توجه باشند (Bromhead et al. 2022).

به این ترتیب، چینه نگاری سکانسی رسوبات مورد مطالعه در میدین بهرگانسر، هنديجان و ماهشهر منجر به شناسایی پنج سکانس رسوبی رده سوم شد که با سکانس های شناسایی شده از میدین مجاور مقایسه شدند (شکل ۴).

سکانس ۱

این سکانس در بخش پایینی سازند سروک شناسایی گردید (شکل ۴). رخساره های رسوبی معرف بالا آمدن سطح آب دریا (TST) عمدتاً در رمپ میانی و خارجی تشکیل شده و حداکثر پیشروی سطح آب دریا (MFS) با رخساره رمپ خارجی غنی از روزنبران شناور (رخساره های ۶ و ۷)، کاهش لاگ گاما و تمیز بودن آهک مشخص گردید (شکل های ۶B). آغاز سکون و افت سطح آب با روند تغییر تدریجی رخساره های رمپ خارجی غنی از الیگوستژنیدها و سوزن اسفنج به رخساره سدی دارای قطعات رودیست (رخساره های ۴ و ۵) و در ادامه با رخساره های لاگون دارای میلیولید و

باز، سد، لاگون، و پهنه جزر و مدی نسبت داده شده است. هر کدام از این محیط ها رخساره خاص خود را دارند. عدم وجود ریف های پشته ای و رسوبات توربیدیتی در نهشته های مورد مطالعه، و بر اساس مدل ارائه شده (Flugel 2010) رسوبگذاری روی یک پلاتفرم کربناته کم عمق از نوع رمپ را پیشنهاد می کند. وجود فونای بتیک متنوع مانند براکیوپودا، اکینودرم، فرامینیفرها، استراکدا، گاستروپودا، دوکفه ای و فقدان ائیدها نشان دهنده شوری نرمال در محیط دریایی کم عمق اکسیژن دار است (Lees 1975; Matyja et al. 2006). رخساره سنگ آهک گلی حاوی روزنبران شناور، الیگوستژینا و رادیولر ژرفترین رخساره های موجود در سازند سروک را تشکیل می دهند و با زون زیستی ۲۶ (Wynd 1965) مطابقت دارد. بخش های کم عمق تر دریای باز با رخساره سنگ آهک گلی حاوی روزنبران کفزی و شناور مشخص می گردد. رخساره رودیستی که در ماهشهر فراوانی قابل توجهی داشتند پارانرژی ترین رخساره های ناحیه هستند. سایر رخساره ها با حضور فسیل های (*Orbitolina* و *Alveolina*)، *Miliolids*، *Lithuonella*، *Nezazata*، و جلبک های سبز نشانگر رسوب گذاری در محیط تالاب هستند. رخساره دولوستون نشان دهنده محیط جزر و مدی است و دارای ساختارهای چشم پرنده ای در زمینه میکرایتی است که در میدان بهرگانسر مشاهده شد (Adabi et al. 2010).

چینه نگاری سکانسی

با بررسی تغییرات عمودی رخساره ها و شناسایی محیط های رسوبی می توان نهشته های موجود در یک حوضه رسوبی را به سکانس های رسوبی تفکیک نمود (Emery and Myers. 1996). سکانس رسوبی یک واحد چینه شناسی است که توسط ناپیوستگی ها یا پیوستگی های هم ارز از طبقات بالا و پایین تفکیک می گردد و دوره ای از رسوب گذاری را نشان می دهد که بین دو برهه زمانی افت سطح آب دریا اتفاق افتاده است (Vali et al. 1977; Van Wagoner et al. 1990). مدل

سطح آب دریا (Late HST) شامل رخساره های لاگون غنی از روزنیران کفزی با پوسته پورسلانوز و آگلوتینه مانند *Nezazzata*, *Alveolinids*, *Miliolids*, *Textulariids* (شکل ۴). مرز بالایی سکانس در میدان ماهشهر به دلیل عدم وجود شواهد خروج از آب از نوع درجه دوم (SB2) است و با تغییر رخساره ای همراه با افزایش لاگ گاما مشخص گردید. مرز سکانسی در چاه BS-X به دلیل شواهد خروج از آب و فرسایش رسوبات در اثر فعالیت پی سنگی بهرگانسر- نوروز، از نوع درجه اول (SB1) است. مقایسه تغییرات رخساره ای این چاهها با میداین اهواز، چاه F در کویت، نهر امر در عراق نشان می دهد احتمالاً سطح بیشینه غرقابی (MFS) سکانس ۲ از لحاظ سنی قابل تطابق با MFS 120 صفحه عربی به سن سنومانین پیشین است. بازه زمانی سنومانین در صفحه عربی با گسترش حوضه ایتراشلفی همراه با پلت فرم کربناته مشخص می شود (Sharland et al. 2001). در این زمان، به دلیل کاهش حجم رسوبات آواری، پراکندگی جغرافیایی این رسوبات کم بود و نهشته های مذکور تنها در حاشیه غربی صفحه عربی با نام سازند وارا و احمدی (کویت، چاه F)، (جنوب عراق، چاه نهر عمر)، رسوبات ریزدانه سیلیسی (عمان، سازند ناتیه) و عربستان سعودی، رسوب کرده و در بخش های شمالی (میدان ماهشهر) به رسوبات کربناته تبدیل شدند (شکل 6C). در ادامه، با پیشروی سطح آب دریا رسوبات کربناته در سراسر ورقه عربی نهشته شدند (شکل 6D).

سکانس ۳

این سکانس در برگیرنده بخش میانی سازند سروک است. بسته رسوبی پیشرونده سطح آب دریا (TST) عمدتاً از رخساره رمپ میانی و سرشار از روزنیران کفزی بزرگ مانند *Orbitalina*, *Chrysalidina*, *Cuneolina*, *Dicyclina*, *Taberina*، اکینوئید، استراکد و رودیست است (شکل ۴). بسته رسوبی وابسته به سکون و آغاز پسروری سطح آب دریا افت سریع سطح آب دریا را از رخساره رمپ میانی به

تکستولارید (رخساره ۳) و افزایش تدریجی لاگ گاما به دلیل ورود رسوبات آواری به حوضه مشخص شد (شکل ۴). این سکانس به صورت ناقص است زیرا مرز پایینی این سکانس در داخل سازند کژدمی قرار دارد. همچنین مرز بالا در میداین ماهشهر و بهرگانسر به دلیل عدم وجود شواهد خروج از آب از نوع مرز سکانسی درجه دوم (Type II sequence boundary) است. در چاه هندیجان، در اثر فعالیت‌های تکتونیکی گسل پی سنگی بهرگانسر- نوروز در سنومانین و خروج از آب، بخش زیادی از سازند سروک دچار فرسایش شده و مرز سکانسی از نوع درجه اول (Type I sequence boundary) است. عدم وجود فسیل های شاخص برای تعیین سن در میداین مطالعه شده در شمال غرب خلیج فارس موجب شد سن سازند مادود آلبین پسن؟- سنومانین در نظر گرفته شود و تغییرات رخساره ای مشابه در این چاهها با میداین اهواز، چاه F در کویت، نهر امر در عراق (Bromhead et al. 2022) نشان می دهد احتمالاً سطح بیشینه غرقابی (MFS) سکانس ۱ از لحاظ سنی قابل تطابق با MFS 110 صفحه عربی به سن آلبین پسن است. در اواخر آپتین- آلبین، با بالآمدگی سپر عربی و افت سطح آب دریا همراه با تاثیر آب و هوای مرطوب ناشی از فرآیند بازشدن اقیانوس اطلس، حجم عظیمی از رسوبات آواری تولید و به سمت شرق ورقه عربی روانه شد (شکل 6A) که در ادامه در اواخر آلبین و با بالآمدن سطح آب دریا نهشته های کربناته مادود در سراسر ورقه عربی (شکل 6B) تشکیل شد (Davies et al. 2002; 2019; Van Buchem et al. 2011).

سکانس ۲

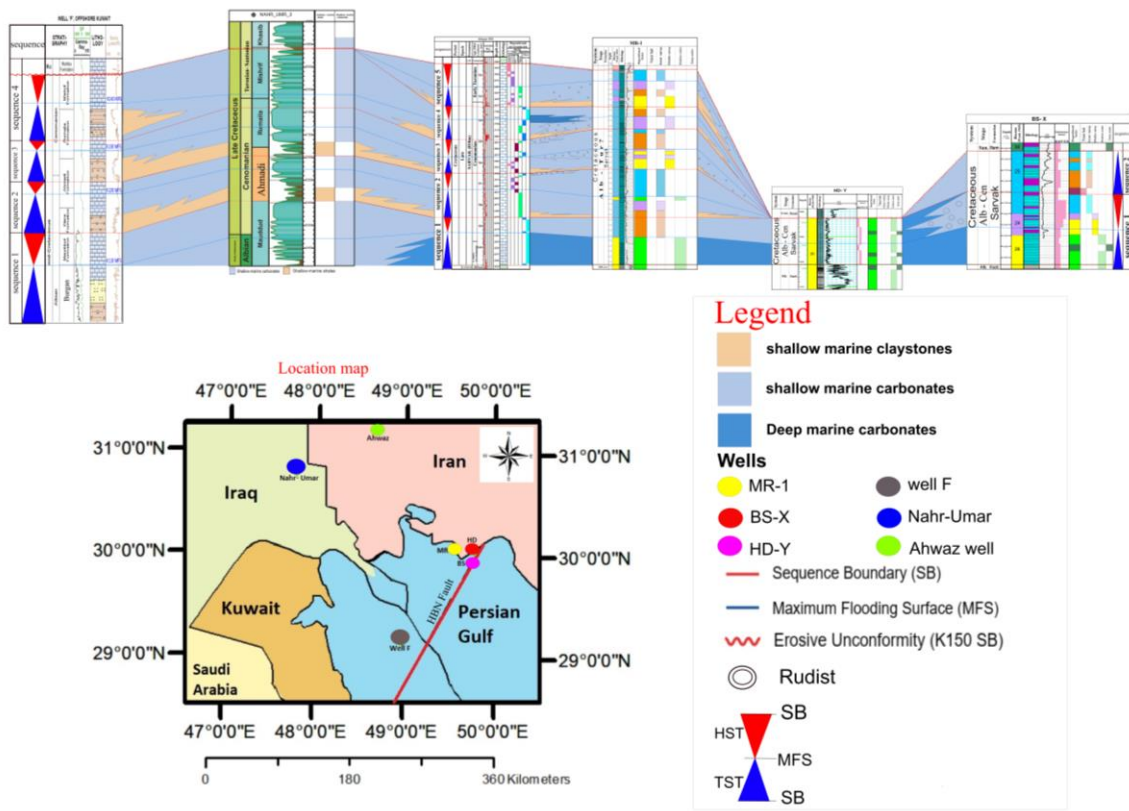
این سکانس در بخش میانی سازند سروک شناسایی شده است (شکل ۴). بسته رسوبی پیشرونده سطح آب دریا (TST) که پیشروی سریع سطح آب دریا را نشان می دهد عمدتاً شامل رخساره های رمپ میانی و لاگونی است (شکل ۴). سطح بیشینه غرقابی (MFS) توسط رخساره غنی از اکینوئید، رودیست و الیگوستژینا (رمپ میانی) مشخص گردید. بسته رسوبی مربوطه معرف سکون (Early HST) و آغاز پسروری

رخساره لاگونی نشان می‌دهد (شکل ۴). به دلیل عدم وجود شواهد خروج از آب مرز بالای سکانس در میدان ماهشهر براساس تغییرات رخساره ای و افزایش لاگ گاما تعیین شده و از نوع دوم (SB2) است. براساس فرامینفرها و نانوپلانکتون‌ها در میداین اهواز (Kazem Zadeh and Lotfpour 2016)، نهر امر در عراق و چاه F در کویت (Al-Fares et al. 1998) سکانس MFS 130 (به سن سنومانین میانی) شناسایی شدند. ضخامت زیاد و تغییرات رخساره ای مشابه سازند سروک در میدان ماهشهر با این میداین، عدم ناپیوستگی لایه‌ها در داده‌های لرزه ای (شکل ۵) نشان می‌دهد احتمالاً سطح بیشینه غرقابی (MFS) سکانس ۳ قابل تطابق با MFS 130 صفحه عربی به سن سنومانین میانی باشد. بازه زمانی سنومانین با گسترش یک حوضه ایتراشلفی در داخل پلت فرم کربناته صفحه عربی مشخص می‌شود و در این سکانس نیز واحدهای سیلیسی- آواری (شیل احمدی) گسترش کمتری داشت و به سمت شمال صفحه عربی غالباً به رخساره های آهکی تغییر یافت (شکل 6E) و با ادامه پیشروی سطح آب دریا سراسر ورقه عربی با رسوبات کربناته پوشانده شد (شکل 6F) این پالس های سیلیسی- آواری می‌تواند در ارتباط با افت سطح آب همزمان با دوره های آب و هوای مرطوب باشد.

سکانس ۴

در میدان ماهشهر، بسته رسوبی پیشرونده سطح آب دریا (TST) بالآمدن جزئی سطح آب دریا را نشان داده و شامل

رخساره های لاگون و سدی است (شکل ۴). رخساره محیط سدی غنی از پلوئید سطح حداکثر پیشروی سطح آب دریا (MFS) را نشان می‌دهد. بسته رسوبی وابسته به سکون و آغاز پیشروی سطح آب دریا (HST) شامل رخساره های لاگون و جزر و مدی می‌باشد (شکل ۴). فرایند دولومیتی شدن در بخش هایی از سکانس ها در روند کم عمق شوندگی سطح آب دریا رخ داده است. به دلیل عدم وجود شواهد خروج از آب و فرسایش رسوبات، مرز سکانسی در میدان ماهشهر از نوع دوم (SB2) است. نبود فسیل های شاخص تعیین سن این سکانس را مشکل ساخته است. براساس فرامینفرها و نانوپلانکتون ها در میداین اهواز (Kazem Zadeh and Lotfpour 2016)، نهر امر در عراق و چاه F در کویت (Al-Fares et al. 1998) سکانس MFS 140 (به سن سنومانین پسین- تورونین پیشین) شناسایی شدند. براساس تغییرات رخساره ای مشابه سازند سروک در میدان ماهشهر با این میداین، احتمالاً سطح بیشینه غرقابی (MFS) سکانس ۴ قابل تطابق با MFS 140 (به سن سنومانین پسین- تورونین پیشین) در صفحه عربی باشد. در این سکانس واحدهای سیلیسی- آواری (سازند رومیله در چاه F) گسترش محدودتری نسبت به قبل داشته و به سمت شمال صفحه عربی به رخساره های آهکی تبدیل شد (شکل 6G) و در ادامه با پیشروی سطح آب دریا در سراسر ورقه عربی به رسوبات کربناته میشریف تغییر رخساره داد (شکل 6H). این توالی، آخرین سکانس شناسایی شده در شمال کویت و جنوب عراق است (شکل ۴).



شکل ۴- تطابق چینه نگاری سکansı و تغییرات جانبی رخساره‌ها. سن ها تقریبی و براساس داده های موجود است. داده های استفاده شده براساس منابع زیر است:

Davies et al. 2002 (well F); Davies et al. 2019 (Nahr- Umar well); Bromhead et al. 2022 and Kazem Zadeh and Lotfpour 2016 (Ahwaz well) and this study (MR-1, HD-Y, BS-X)

Fig 4- Regional late Albian to Turonian sequence stratigraphic correlation in study area illustrating lateral facies. Ages are approximate, based on published data. Well data is derived from Davies et al. 2002 (for well F); Davies et al. 2019 (for Nahr- Umar well); Bromhead et al. 2022 and Kazem Zadeh 2016 (for Ahwaz well) and this study (MR-1, HD-Y, BS-X).

سکانس ۵

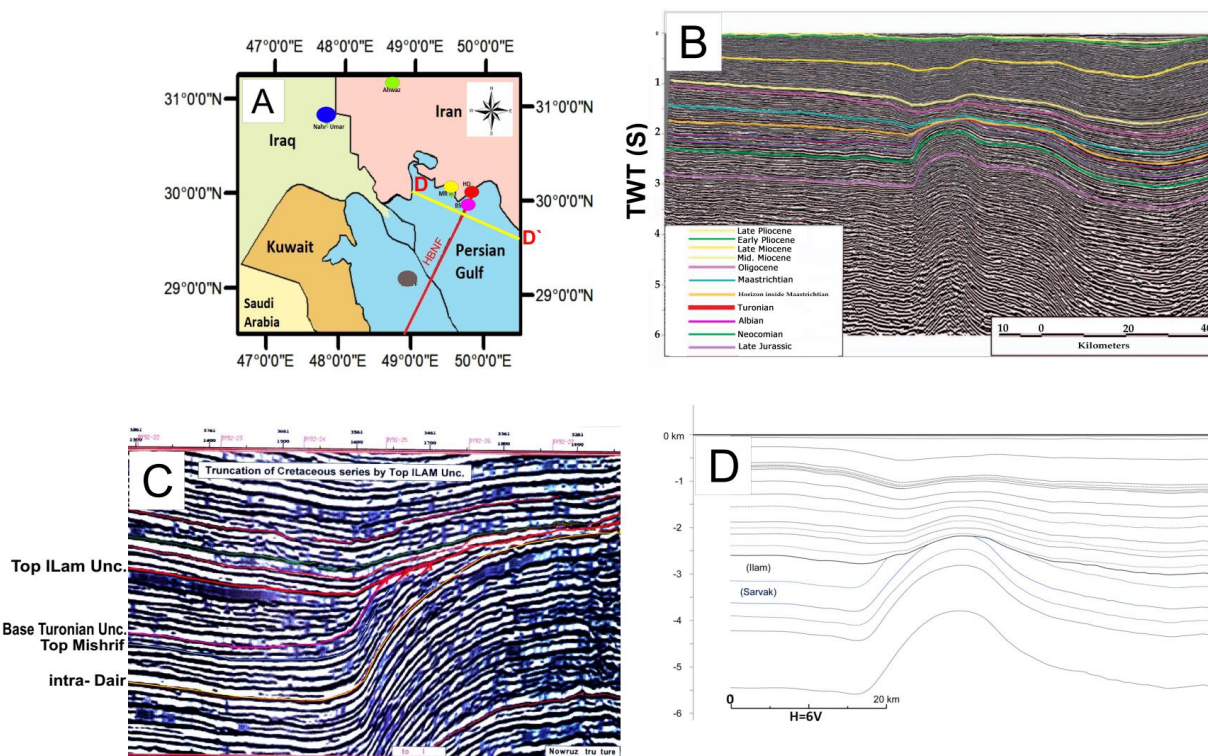
باشد (شکل ۴). سطح حداکثر پیشروی آب احتمالا در آهک تمیز با کمترین مقدار لاگ گاما با رخساره های سدی مشخص شده است و در ادامه لایه های مربوط به سکون و آغاز افت سطح آب دریا با رخساره های لاگونی و افزایش لاگ گاما که ورود رسوبات سیلتی را نشان می دهد مشخص شده است. وجود سیلت در لایه های شیلی بیانگر آن است که شیل موجود در نهشته های سروک میدان ماهشهر مربوط به بخش جلوی دلتا و نواحی کم عمق است.

مرز بالایی این سکانس که بین سازندهای سروک و ایلام قرار دارد به دلیل شواهد خروج از آب و فرسایش گسترده رسوبات، مرز سکansı نوع اول (Type I sequence

سروک بالایی در فرورفتگی شمالغرب گسل هندیجان- بهرگانسر- نوروز گسترش محدودی دارد. این وضعیت ممکن است معلول پارامترهای زمین ساختی سنومانین (فعالیت گسل هندیجان- بهرگانسر- نوروز) باشد که سبب بالآمدگی منطقه ای و رسوب گذاری ناشی از فرسایش نواحی مرتفع در فرورفتگی های مجاور شد (شکل ۵). به دلیل فرسایش رخ داده در چاه F و نهر امر، سکانس ۵ در میدان ماهشهر قابل مطابقت با چاه اهواز است (شکل 6I, J). رخساره های سدی و لاگونی که در ادامه سکانس ۴ در این میدان وجود دارد به رسوبات پیشرونده حاصل از پیشروی سطح آب دریا (TST)

boundary) می‌باشد و به دلیل فرسایش در بخش بالایی این سکانس به صورت ناقص است (شکل 6K). مقایسه میدان ماهشهر با سکانس‌های گزارش شده از برومهد و همکاران (Bromhead et al. 2022)، نشان می‌دهد احتمالاً سطح بیشینه غرقابی (MFS) سکانس ۵ قابل تطابق با MFS Tu 1 صفحه عربی بوده و در غرب میدان ماهشهر از میادین اهواز، مسجد سلیمان، دارخوین-۲، خورموج در ایران Qurna- 11 در عراق گزارش شده که پیش از تورونین میانی تشکیل شدند. مرز بالایی این سکانس با K150 که در بخش بزرگی از صفحه عربی با بالآمدگی تکتونیکی همراه بوده، مشخص می‌گردد (Hollis 2011; Searle et al. 2014; Chen et al. 2021).

دادنه‌های مغزه، فسیل‌های شاخص وجود رسوبات تورونین در میدان ماهشهر با استفاده از شواهد فسیل‌شناسی به اثبات نرسید. علاوه بر این، تشخیص سنگواره‌های ذره بینی تورونین در نهشته‌های کربناته از طبقات جوان تر/قدیمی تر دشوار می‌باشد. به نظر می‌رسد تأیید وجود طبقات مذکور با استناد به شواهد لرزه‌نگاری نتایج قابل قبول تری را ارائه نماید (شکل ۵) و احتمالاً کربنات‌های تورونین معادل یک توالی پیش‌رونده باشند.

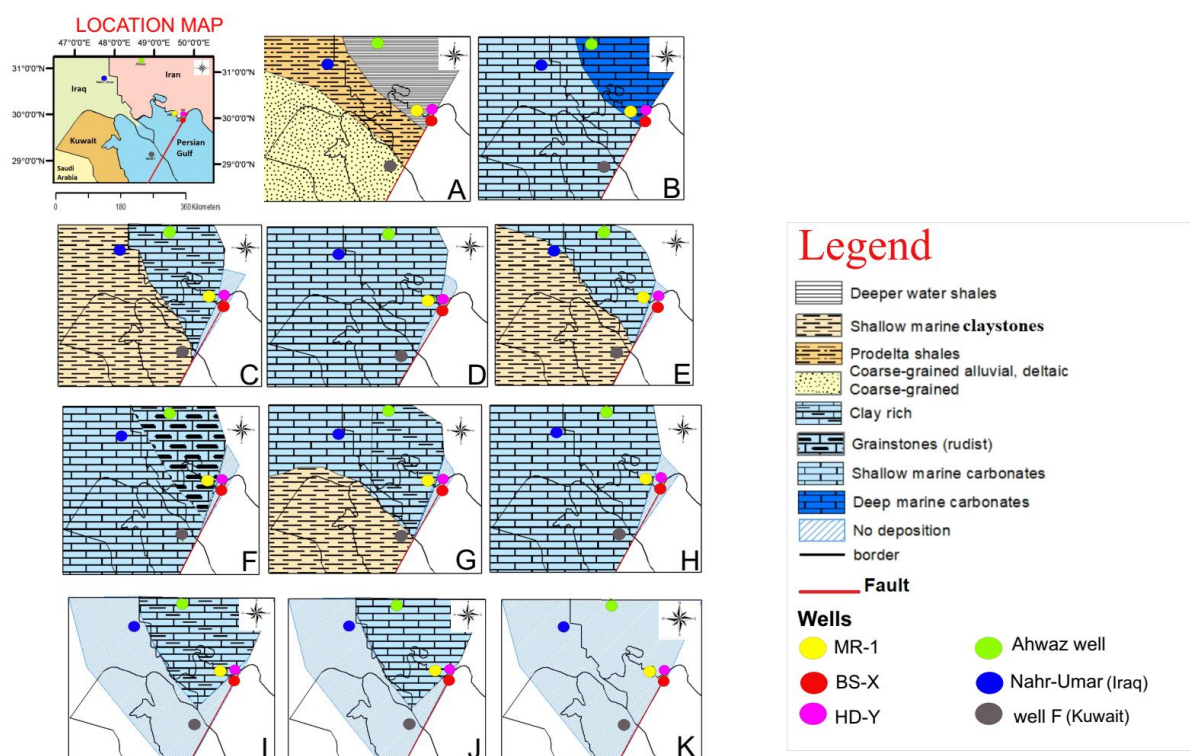


شکل ۵- A) موقعیت گسل هنديجان- بهرگانسر- نوروز (HBNF) و جهت نیم رخ ترسیم شده در امتداد DD', B, D) Seismic profile drawn along DD', C) Onlap of Upper Sarvak carbonate sediments an onlap on the sides of paleohigh HBN beginning of Turonian. Figure D, B respectively (Valero et al. 2015; Soleimany and Sâbat 2010).

Fig 5- The location of the Handijian-Behrgansar-Nowruz fault (HBNF) and the direction of the profile drawn along DD', B, D) Seismic profile drawn along DD', C) Onlap of Upper Sarvak carbonate sediments an onlap on the sides of paleohigh HBN beginning of Turonian. Figure D, B respectively (Valero et al. 2015; Soleimany and Sâbat 2010).

رسوبگذاری فرسایش یافتند (nondeposition / erosion). فعالیت‌های تکتونیکی پس از سنومانین منجر به جابجایی بلوک‌ها در امتداد هندیجان - نوروز، که تا این زمان آرام بود، گردید و در ادامه ناپیوستگی بعد از سنومانین را در منطقه به وجود آورد. در آغاز تورونین رسوبات کربناته سروک فوقانی در روند شمال شمال غرب - جنوب جنوب شرق (به موازات جهت بلندای قدیم) به صورت آلپ در کناره‌های بلندای قدیم تشکیل شد (میدان ماهشهر، شکل 5B).

بر این اساس، منطقه مورد مطالعه که در اوایل سنومانین پایدار و با ثبات بود در اثر عملکرد رخدادهای تکتونیکی اواخر سنومانین، بالآمدگی در امتداد این برجستگی قدیمی آغاز (شکل ۵) و در نهایت عقب‌نشینی دریا سبب خروج رسوبات سنومانین از آب در بیشتر مناطق شد (شکل ۶). بالآمدگی منطقه در امتداد بلندای قدیم (میدان بهرگانسر و هندیجان) بیشتر بوده به طوری که قسمتی از لایه‌های فوقانی سنومانین در این امتداد (NNE-SSW) تحت تأثیر حرکات تکتونیکی و خروج از آب تشکیل نشدند یا بعد از



شکل ۶- تغییر شرایط محیط‌های رسوبی منطقه مورد مطالعه در سطح حداکثر پیشروی سطح آب دریا (MFS) و آغاز پسروی دریا (Highstand system tract) در بازه زمانی آلبین- تورونین. داده‌های استفاده شده براساس منابع زیر است: اطلاعات نقشه BS110 از Bromhead et al. (2022) استخراج شده است و Davies et al. 2002 (well F); Davies et al. 2019 (Nahr- Umar well); Bromhead et al. 2022 and

Kazem Zadeh 2016 (Ahwaz well) and this study (MR-1, HD-Y, BS-X).

Fig 6- Sequence boundary and maximum flooding surface depositional environment maps for the depositional sequences recognized in late Albian – Turonian. BS110 after Bromhead et al. (2022); Well data is derived from Davies et al. 2002 (for well F); Davies et al. 2019 (for Nahr- Umar well); Bromhead et al. 2022 and Kazem Zadeh 2016 (for Ahwaz well) and this study (MR-1, HD-Y, BS-X).

نتیجه

غربی خلیج فارس، گسل هندیجان- بهرگانسر- نوروز به طول بیش از ۷۰۰ کیلومتر (از کوه بنگستان تا خفجی در عربستان) یک گسل تقریباً عمودی-راست گرد لغزشی در روند عربی

سازند سروک به سن کرتاسه میانی یکی از مخازن مهم نفتی ایران و کشورهای عربی همسایه به شمار می‌رود. در شمال

این مقاله با حمایت مشترک دانشگاه خوارزمی (تهران) و شرکت نفت فلات قاره ایران، که تحت حمایت از پایان نامه‌های تحصیلات تکمیلی شرکت ملی نفت ایران می باشد، تهیه گردیده است.

References

- Adabi M. H. Salehi M. A. and Ghabeshavi A. 2010. Depositional environment sequence stratigraphy and geochemistry of Lower Cretaceous carbonates (Fahliyan Formation), south-west Iran: Journal of Asian Earth Sciences, 39: 148- 160. <https://doi.org/10.1016/j.jseae.2010.03.011>
- Al-Fares A. A. Bouman M. and Jens P. 1998. A new look at the Middle to Lower Cretaceous stratigraphy, offshore Kuwait. *GeoArabia*, 3 (4), 543-560. <https://doi.org/10.2113/geoarabia0304543>
- Al-Husseini A. 2007. Iran's crude oil reserves and production. *GeoArabia*, 12(2): 69- 94. <https://doi.org/10.2113/geoarabia120269>
- Alsharhan A. S. and Kendall C. G. 2002. Holocene carbonate/evaporates of Abu Dhabi and their Jurassic ancient analogues. In: Sabkha Ecosystems, Barth and Boer (Eds.). Kluwer Academic Publishers. The Netherland: 61(3-4):191-243. [https://doi.org/10.1016/S0012-8252\(02\)00110-1](https://doi.org/10.1016/S0012-8252(02)00110-1)
- Alsharhan A. S. Strohmenger C. J. Abdullah F. H. and Sahlan G. Al. 2014. Mesozoic stratigraphic evolution and hydrocarbon habitats of Kuwait. In: Marlow L. Kendall C. and Yose L. (Eds.), Petroleum systems of the Tethyan region. AAPG Memoir, 106, 541- 611.
- Bromhead A. D. van Buchem F. S. P. Simmons M. D. and Davies R. B. 2022. Sequence stratigraphy, paleogeography and petroleum plays of the Cenomanian- Turonian succession of the Arabian plate: an update synthesis. *Journal of Petroleum Geology*, 45(2): 119- 162. <https://doi.org/10.1111/jpg.12810>
- Catuneanu O. 2006. Principles of sequence stratigraphy. Elsevier. Amsterdam, 386 p.
- Chen P. Guo L. Li C. and Tong Y. 2021. Karstification characteristics of the Cenomanian-Turonian Mishrif Formation in the Missan Oil Fields, southeastern Iraq, and their effects on reservoirs. *Frontiers of Earth Science*, 16:435-445. <http://dx.doi.org/10.1007/s11707-020-0864-7>
- Davies R. B. Casey D. M. Horbury A. D. Sharland P. R. and Simmons M. D. 2002. Early to mid-Cretaceous mixed carbonate-clastic shelfal systems: examples issues and models from the Arabian Plate.

NNE-SSW می باشد که نقش مهمی در تکامل زمین شناسی منطقه داشته است. رخساره های میکروسکپی، محیط های رسوبی، و چینه نگاری سکانسی سازند سروک در غرب بلندای قدیم هندیجان- بهرگانسر- نوروژ در میداین هندیجان، بهرگانسر، ماهشهر مطالعه شدند. جهت بررسی و شناسایی ریزرخساره‌ها و تعیین محیط رسوبگذاری، ۱۸۶ مقطع نازک از نظر پتروگرافی، ویژگی های بافتی مورد مطالعه قرار گرفتند. طبقه بندی ریزرخساره‌ها منجر به شناسایی مجموعاً ۷ ریزرخساره در ۴ کمربند رسوبی، شامل پهنه جزر و مدی، لاگون، سد، و دریای باز شد. وجود ریف های پشته ای، نبود رسوبات توریدایتی یک پلاتفرم کربناته کم عمق از نوع رمپ را برای تشکیل رسوبات سازند سروک پیشنهاد می کند. همچنین چینه نگاری سکانسی رسوبات مورد مطالعه در شمال غرب گسل هندیجان- بهرگانسر- نوروژ منجر به شناسایی پنج سکانس رسوبی رده سوم به سن آلبین پسین- توروینین؟ شد. بر اساس نتایج به دست آمده، اگرچه منطقه مورد مطالعه در اوایل سنومانین از نظر ساختاری پایدار بود اما تحت تاثیر فازهای تکتونیکی مهم از اواخر سنومانین و در امتداد یک برجستگی قدیمی شروع به بالآآمدن کرد و در نهایت عقب نشینی دریا سبب خروج رسوبات سنومانین از آب در بیشتر مناطق (میداین بهرگانسر و هندیجان) شد. در اوایل توروینین، بالآآمدگی صفحه عربی موجب عقب نشینی آب و وقوع یک فاز فرسایشی مهم در مرز سنومانین و توروینین شد. به دلیل فقدان فسیل های شاخص، وجود رسوبات توروینین در شمال غرب خلیج فارس به اثبات نرسیده و با استفاده از داده‌های مقاطع لرزه نگاری، احتمالاً کربنات‌های توروینین معادل یک توالی پیشرونده (به صورت آنلپ) در نظر گرفته شدند. به این ترتیب، رسوبات کربناته قسمت فوقانی سازند سروک در روند شمال شمال غرب - جنوب جنوب شرق، به صورت آنلپ در کناره‌های بلندای قدیم ته‌نشین شد.

تشکر و قدردانی



- Hollis C. 2011. Diagenetic controls on reservoir properties of carbonate successions within the Albian– Turonian of the Arabian Plate. *Petroleum Geoscience*, 17: 223-241. <http://dx.doi.org/10.1144/1354-079310-032>
- James G. A. and Wynd J. G. 1965. Stratigraphic nomenclature of Iranian Oil Consortium Agreement Area. *American Association of Petroleum Geologists, Bulletin* 49: 2182- 2245. <https://doi.org/10.1306/A663388A-16C0-11D7-8645000102C1865D>
- Jordan C. F. Connally R. C. and Vest H. A. 1985. Middle Cretaceous Carbonates of the Mishrif Formation, Fateh Field, Offshore Dubai, UAE. In: Roehl P.O. and Choquette P.W. (Eds.) *Carbonate Petroleum Reservoirs*, New York, Springer-Verlag: 425- 442. DOI:10.1007/978-1-4612-5040-1_27
- Kakemem U. Adabi M.H. Sadeghi A. Jalali M. and Dehyadegari E. 2022. Palaeoenvironment reconstruction, diagenetic overprint and geochemistry of the Upper Cretaceous Sarvak Formation in the north of Dezful Embayment, south-west of Iran. *Stratigraphy and Sedimentology Researches*, 38 (3), 1-34. <http://dx.doi.org/10.22108/jssr.2022.134679.1237>
- Kalanat B. and Vaziri-Moghaddam H. 2019. The Cenomanian/Turonian boundary interval deep-sea deposits in the Zagros Basin (SW Iran). Bioevents, carbon isotope record and palaeoceanographic model. *Palaeogeography, Palaeoclimatology, Palaeoecology*, 533: 109- 238. <https://doi.org/10.1016/j.palaeo.2019.109238>
- Kazemzadeh M. and Lotfipour M. 2016. Biostratigraphy, facies and sequence stratigraphy of the Sarvak Formation in the Ahwaz Oil Field, North Dezful Embayment Zone. *Journal of Stratigraphy and Sedimentology Researches*, 32: 53-72. doi:10.22108/JSSR.2016.20871
- Khalili M. 1976. The biostratigraphic synthesis of the Bangestan Group in Southwest Iran. IOOC, Report No. 1219 (Unpub.).
- Khanjani M. Mousavi Harami R. Rahimpour Bonab H. and Kamali M.R. 2015. Sedimentary environment, diagenesis and sequence stratigraphy of upper Sarvak Formation (Mishrif Equivalent) in Siri Oil Fields. *Scientific Quarterly Journal of Geosciences*, 24(94): 263- 274. <https://dorl.net/dor/20.1001.1.10237429.1393.24.94.121.1>
- Lees A. 1975. Possible influences of salinity and temperature on modern shelf carbonate sedimentation. *Mar. Geol.* 19: 159- 198. [https://doi.org/10.1016/0025-3227\(75\)90067-5](https://doi.org/10.1016/0025-3227(75)90067-5)
- Matyja B. A. Wierzbowski A. Gedl P. Boczarowski A. Kaim A. Kedzierski M. Leonwics P. Smolen J.M Szczepanik and P. Witkowska M. 2006. *Stop B1.5-GeoArabia*, 7 (3): 541-598. <https://doi.org/10.2113/geoarabia0703541>
- Davies R. B. Simmons M. D. Jewell T. O. and Collins J. 2019. Regional Controls on Siliciclastic Input into Mesozoic Depositional Systems of the Arabian Plate and Their Petroleum Significance. In: Alnazi H.R. Rahmani R.A. Steel R.J. and Soliman O.M. (Eds). *Siliciclastic reservoirs of the Arabian plate. AAPG Memoir* 116: 103-139. <http://dx.doi.org/10.1306/13642165M1183798>
- Dunham R. J. 1962. Classification of Carbonate Rocks According to Depositional Texture. *AAPG Memoir* 1: 108-121.
- El-Aziz A. K. Abd el-aal A. K. Al-Jeri F. and Al-Enezi A. 2022. Seismicity of Kuwait. *The Geology of Kuwait. Regional Geology Reviews*: 145- 170. <http://dx.doi.org/10.1007/978-3-031-16727-0>
- Emery D. and Myers K. J. 1996. *Sequence Stratigraphy*. Oxford, United Kingdom, Blackwell, 297 p. DOI:10.1002/9781444313710
- Flügel E. 2004. *Microfacies of Carbonate Rocks. Analysis. Interpretation and Application*, Springer Verlag, Berlin, 976 p.
- Flügel E. 2010. *Microfacies of Carbonate Rocks*. Springer Verlag, Berlin, 1006 p.
- Gaddo J. 1971. The Mishrif Formation paleoenvironment in the Rumaila/Tuba/Zubair region of south Iraq. *Geological Society of Iraq*, 4: 1-12.
- Ghabeishavi A. Vaziri-Moghaddam H. V. Taheri A. and Taati F. 2010. Microfacies and depositional environment of the Cenomanian of the Bangestan anticline, SW Iran. *Journal of Asian Earth Sciences*, 37: 275- 285. <https://doi.org/10.1016/j.jseaes.2009.08.014>
- Ghazban F. 2007. *Petroleum Geology of the Persian Gulf*. Tehran University and National Iranian Oil Company, 1010 p.
- Gholami Zadeha P. Adabib M.H. and Sadeghi A. 2019. Microfacies, geochemistry and sequence stratigraphy of the Sarvak Formation (Mid Cretaceous) in the Kuh-e Siah and Kuh-e Mond, Fars area, southern Iran. *Journal of African Earth Sciences* 160: 103634. <http://dx.doi.org/10.1016/j.jafrearsci.2019.103634>
- Grafe K. U. 2005. Late Cretaceous benthic foraminifera from the Basque-Cantabrian Basin, Northern Spain. *Ibriam Geology*, 31: 277-298.
- Hajikazemi E. Al- Aasm I.S. and Coniglio M. 2012. Chemostratigraphy of Cenomanian- Turonian carbonates of the Sarvak formation, Southern Iran. *Petroleum Geology*, 35: 187-205. <https://doi.org/10.1111/j.1747-5457.2012.00525.x>
- Haq B. U. 2014. Cretaceous Eustasy Revisited. *Global and Planetary Change*, 113: 44- 58. <https://doi.org/10.1016/j.gloplacha.2013.12.007>

- Piryaei A. Reijmer J.J.G. Van Buchem F.S.P. Moghadam M.Y. Sadouni J. and Danelian T. 2010. The influence of Late Cretaceous tectonic processes on sedimentation patterns along the northeastern Arabian plate margin (Fars Province, SW Iran). In: Leturmy P. and Robin C. (Eds.), *Tectonic and Stratigraphic Evolution of Zagros and Makran during the Mesozoic-Cenozoic*. Geol. Soc. Lond. Spec. Pub., 330: 211- 251. <https://doi.org/10.1144/SP330>
- Qomi Aveili J. 2016. Sequence stratigraphy and sedimentary environment of Sarvak Formation, in the oil field of Kuhmond (Southwest of Iran). Scientific Research Publishing Inc: 1344-1360. <http://dx.doi.org/10.4236/ojg.2016.610097>
- Razin P. Taati F. and Van Buchem F.S.P. 2010. Sequence stratigraphy of Cenomanian–Turonian carbonate platform margins (Sarvak Formation) in the High Zagros, SW Iran: an outcrop reference model for the Arabian Plate. *Geol. Soc. Lond. Spec. Publ.*, 329, 187-218. <https://doi.org/10.1144/SP329.9>
- Romero J. Caus E. and Rosell J. 2002. A model for the palaeoenvironmental distribution of larger foraminifera based on late Middle Eocene deposits on the margin of the South Pyrenean Basin (NE Spain). *Palaeogeography, Palaeoclimatology, Palaeoecology*, 179: 43- 56.
- Sadeghi S. Hashemi. H and Beiranvand. B. 2021. Foraminifera-based biozonation of the Sarvak Formation in Block D, Northwestern Persian Gulf. 14th Symposium of Iranian Paleontological Society, 205- 211.
- Sadooni F. N. and Alsharhan A. S. 2003. Stratigraphy, microfacies, and petroleum potential of the Maaddud Formation (Albian– Cenomanian) in the Arabian Gulf basin. *AAPG Bulletin*, 87(10): 1653-1680.
- Saedi Razavi B. Askari F. Kamali M. and Kazemzadeh E. 2019. Biostratigraphy, microfacies, depositional environment and sequence stratigraphy of the Sarvak Formation in one of the oilfields, southwest Iran. *Sedimentary Facies*, 12(1): 91- 108.
- Schlagintweit F. and Simmons M. 2022. Developing best practice in micropalaeontology: examples from the mid-Cretaceous of the Zagros Mountains. *Acta Palaeontologica Romaniaae*, 18: 63- 84.
- Schlagintweit F. and Yazdi-Moghaddam M. 2021. *Moncharmontia De Castro 1967* benthic foraminifera from the middle-upper Cenomanian of the Sarvak Formation of SW Iran (Zagros Zone): a CTB survivor taxon. *Micropalaeontology*, 67: 19-29. <http://dx.doi.org/10.47894/mpal.67.1.03>
- Searle M. P. Cherry A. Ali M.Y. and Cooper D. J. W. 2014. Tectonics of the Musandam Peninsula and northern Oman Mountains: From ophiolite Sovas and Glinskis clay pits (upper most Bajocian lower most Bathonian). In: Wierzbowski A. Aubretch R. Golonka J. Gutowski J. Krobicki M. Matyja B.A. Pienkowski G. Uchman A. (Eds.) *Jurassic of Poland and Adjacent Slovakian Carpathians. Field trip guide book of 7th International Congress on the Jurassic System*, Krakow, Poland:149- 152.
- Mehrabi H. 2023. Deposition, diagenesis, and geochemistry of Upper Cretaceous carbonates (Sarvak Formation) in the Zagros Basin and the Persian Gulf, Iran. *Minerals*, 13 (1078), 1-28. <http://dx.doi.org/10.3390/min13081078>
- Mirzaee Mahmoodabadi R. 2020. Sequence stratigraphy of Albian–Campanian carbonate deposits (Sarvak and Ilam formations) in Shiraz area, Fars, SW Iran. *Carbonates and Evaporites*, 35(92): 2-21.
- Mohammadrezaei H. Alavi A. Cardozo N. and Ghassemi M. R. 2020. Deciphering the relationship between basement faulting and two-phase folding in the Hendijan anticline, northwest Persian Gulf, Iran. *Marine and Petroleum Geology*, 122:104-626. <https://doi.org/10.1016/j.marpetgeo.2020.104626>
- Motiei, H. 1994. *Geology of Iran: Stratigraphy of Zagros*. Geological Survey of Iran Publication, Tehran: 583 p.
- Naseri N. Adabi M.H. Qalavand H. and Ghabushavi A. 2005. Investigating the formation time of the ancient uplift of Mount Bangestan. 24th Symposium of Geosciences: 1- 10. [In Persian]
- Navidtalab A. Heimhofer U. Huck S. Omidvar M. Rahimpour- Bonab H. Aharipour R. and Shakeri A. 2019. Biochemostratigraphy of an upper Albian–Turonian succession from the southeastern Neo-Tethys margin, SW Iran. *Palaeogeography, Palaeoclimatology, Palaeoecology*, 533: 109- 255. <https://doi.org/10.1016/j.palaeo.2019.109255>
- Navidtalab A. Rahimpour-Bonab H. Huck S. and Heimhofer U. 2016. Elemental geochemistry and strontium-isotope stratigraphy of Cenomanian to Santonian neritic carbonates in the Zagros Basin, Iran: *Sedimentary Geology*, 346: 35–48. <https://doi.org/10.1016/j.sedgeo.2016.10.003>
- Omidvar M. Mehrabi H. Sajjadi F. Bahramzadeh Sajjadi H. Rahimpour-Bonam H. and Ashrafzadeh A. 2014. Revision of the foraminiferal biozonation scheme in Upper Cretaceous carbonates of the Dezful Embayment, Zagros, Iran: Integrated palaeontological, sedimentological and geochemical investigation. *Revue de Micropaléontologie*, 57: 97- 116. <http://dx.doi.org/10.1016/j.revmic.2014.04.002>

- stratigraphy of the eastern Arabian Plate depositional sequences and lithostratigraphic nomenclature. *Petroleum Geoscience*, 17: 211- 222.
- Van Buchem F.S.P. Razin P. Homewood P.W. Oterdoom W.H. and Philip J. 2002. Stratigraphic organization of carbonate ramps and organic-rich intrashelf basins: Natih Formation (middle Cretaceous) of northern Oman. *AAPG Bulletin*, 86: 21-53.
- Van Wagoner J. C. Mitchum R. M. Campion K. M. and Rahmanian V. D. 1990. Siliciclastic sequence stratigraphy in well log, cores, and outcrops: Concepts of high-resolution correlation of time and facies. *American Association of Petroleum Geologists, Bulletin*, 7: 1- 55.
- Villan J.M. 1977. Les Calcisphaerulidae: architectures, calcification de la paroi et phylogenese. *Palaeontographica*, 159: 139- 177.
- Vincent B. Van Buchem F.S.P. Bulot L.G. Jalali M. Swennen R. Hosseini A.S. and Baghbani D. 2015. Depositional sequences, diagenesis and structural control of the Albian to Turonian carbonate platform systems in coastal Fars (SW Iran). *Marine and Petroleum Geology*, 63: 46- 67.
- Wilson J. I. 1975. *Carbonate Facies in Geologic History*. Springer Verlag, Berlin, 471 p.
<https://doi.org/10.1007/978-1-4612-6383-8>
- Wynd J.G. 1965. Biofacies of the Iranian Oil Consortium Agreement area. Iranian Oil Operating Companies, Geological and Exploration division. Report No. 1082.
- Youssef A.H. Al-Sahlan G. Kadar A.P. Karam K.A. Packer S. Starkie S. and Stead D. 2019. Sequence stratigraphic framework of the Wara and Ahmadi Formations, onshore Kuwait. *Stratigraphy*, 16(1):1-26. <https://doi.org/10.29041/strat.16.1.1-26>
- obduction to continental collision: *GeoArabia*. 19(2): 135- 174.
<http://dx.doi.org/10.2113/geoarabia1902137>
- Sepehr M. Cosgrove J. and Moieni M. 2006. The impact of cover rheology on the style of folding in the Zagros fold-thrust belt. *Tectonophysics*, 427: 265- 281.
<http://dx.doi.org/10.1016/j.tecto.2006.05.021>
- Sharland P. R. Archer R. Casey D.M. Davies R.B. Hall S. Heward A. Horbury A. and Simmons M.D. 2001. *Arabian Plate Sequence Stratigraphy*. *GeoArabia Special Publication 2*, Gulf PetroLink: 387 p.
- Shiroodi S. K. Ghafoori M. Faghih A. Ghanadian M. Lashkaripour G. and Hafezi Moghadas N. 2015. Multi-phase inversion tectonics related to the Hendijan-Nowrooz-Khaffji Fault activity. *Zagros Mountains. SW Iran Journal of African Earth Sciences*, 111: 399- 408.
<http://dx.doi.org/10.1016/j.jafrearsci.2015.08.015>
- Soleimany B. and Sabat F. 2010. Style and age of deformation in the NW Persian Gulf. *Petrol. Geosci*, 16: 31- 39.
<http://dx.doi.org/10.1144/1354-079309-837>
- Stocklin J. 1968. Structural history and tectonics of Ilam, a review *American Association of petroleum Geology Bulltin*, 52 (7): 1229-1258.
- Valero L. Soleimany B. Bulnes M. and Poblet J. 2015. Evolution of the Nowrooz anticline (NW Persian Gulf) deciphered using growth strata: structural inferences to constrain hydrocarbon exploration in Persian offshore anticlines. *Mar. Petrol. Geol.*, 66: 873- 889.
<http://dx.doi.org/10.1016/j.marpetgeo.2015.07.029>
- Van Buchem F.S.P. Simmons M.D. Droste H.J. and Davies R.B. 2011. Late Aptian to Turonian

